Exemples de composantes irréductibles et non réduites du schéma de Hilbert des courbes lisses et connexes de \mathbb{P}^3 (II)

par Saïd AZZIZ

§0- Introduction

Soit $H_{d,g}$ le schéma de Hilbert des courbes lisses et connexes de degré d et genre g dans l'espace projectif \mathbb{P}^3_k (qu'on notera simplement \mathbb{P}^3 tant que le contexte reste clair) avec k un corps algébriquement clos de caractéristique nulle. Le résultat principal de cet article est le

Théorème. Soient d et g deux entiers satisfaisant :

(A)
$$G(d,8) < g \le \frac{73}{2}(d-74)$$
 si $146 \ge d \ge 95$

(B)
$$G(d,8) < g \le \frac{(d-1)^2}{8}$$
 si $d \ge 147$

Alors il existe une composante irréductible non réduite du schéma de Hilbert $H_{d,g}$ dont l'élément général est une courbe tracée sur une surface quartique à droite double.

Ici, pour tout entier s, G(d,s) désigne le maximum des genres des courbes lisses et connexes de degré d qui ne sont pas tracées sur une surface de degré s-1; d'après ([GP1], théorème 3.1), si d > s(s-1), alors

$$G(d,s) = \frac{1}{2s}d^2 + \frac{s-4}{2}d + 1 - \frac{(s-1)\nu(s-\nu)}{2s}$$

où ν est l'unique entier tel que $0 \le \nu < s$ et $\nu \equiv d \pmod{s}$.

Le premier exemple de composantes irréductibles non réduites fut donné par Mumford ([M1]), suivirent les exemples de Gruson et Peskine ([GP2]), Kleppe ([K1], [K2]), Ellia et Fiorentini ([EF]), Ellia ([E]), Hartshorne ([H1]); dans ces exemples les courbes considérées sont situées sur des surfaces cubiques lisses. Dans ([DP]) Dolcetti et Pareschi donnent un exemple où les courbes sont sur une surface quartique à conique double. Dans la majorité de ces travaux, les $H_{d,g}$ considérés sont tels que g > G(d,5); notre résultat en est une amélioration puisque G(d,5) > G(d,8) pour $d \ge 95$.

Le théorème ci-dessus (qui est prouvé dans la troisième section de cet article) constitue en fait une application de résultats plus généraux, démontrés dans la deuxième partie, qui concernent les déformations des courbes de \mathbb{P}^3 situées sur des surfaces à singularités ordinaires de lieu double une courbe lisse. Notre motivation est le fait que les surfaces quartiques à droite double que nous considérons sont en particulier des surfaces à singularités ordinaires.

Le plus difficile dans la preuve de ce théorème et de montrer que si $C \in H_{d,g}$ est une courbe tracée sur une quartique à droite double, alors toute générisation de C dans $H_{d,g}$ est aussi tracée sur une surface quartique à droite double. On utilisera pour cela la proposition (2.11) qui traîte de la même question mais plus généralement pour les courbes tracées sur des surfaces à singularités ordinaires.

La première partie de l'article rappelle les définitions des schémas polaires et des pinceaux de Lefschetz; les résultats qui y sont établis constituent les préparatifs nécessaires pour établir ceux de la seconde partie qui, elle, est la pierre angulaire du présent article.

Cet article généralise les résultats d'un travail de thèse (cf. [Az]) effectué sous la direction de N. Mestrano, qu'elle trouve ici mes sincères remerciements. Je remercie aussi Carlos Simpson pour les nombreuses heures de discussion qu'il m'a accordé et où j'ai beaucoup appris.

§1- Schémas polaires

Dans cette section nous traitons des *schémas polaires*, introduits par B. Teissier (cf. [T1], [T2]) et D.S. Rim (cf. [R]). Nous en donnons une construction inspirée de ces travaux, ensuite nous établissons le lien existant entre des schémas polaires particuliers et la notion de pinceaux de Lefschetz (cf. 1.7). Nous terminerons par la proposition (1.10) qui sera l'outil essentiel utilisé dans la preuve de la proposition-clé de la prochaine section (cf. 2.5).

Soient X et Y deux k-schémas irréductibles de type fini, soit $f: X \to Y$ un morphisme lisse de dimension relative m, soit \mathcal{L} un fibré en droites sur X. Soit $\Omega_{X/Y} (= \Omega^1_{X/Y})$ le fibré des différentielles relatives de X sur Y muni du morphisme $d: \mathcal{O}_X \longrightarrow \Omega_{X/Y}$.

Soit P un point de X, on dit qu'un voisinage affine U de P est un voisinage de coordonnées locales relatives, s'il existe $x_1, \ldots, x_m \in \mathcal{O}_X(U)$ tels que $x_i(P) = 0$, et $\Omega_{X/Y}|_{U} = \bigoplus_{i=1}^m \mathcal{O}_U dx_i$ (de tels voisinages existent car f est lisse).

Soit $(U_{\alpha})_{\alpha \in \mathcal{A}}$ un recouvrement ouvert de X formé par des voisinages affines de coordonnées locales relatives $(x_1^{\alpha},\ldots,x_m^{\alpha})_{\alpha}$ tel qu'il existe une trivialisation $\theta \colon \mathcal{L} \longrightarrow \mathcal{O}_X$ de \mathcal{L} par rapport à $(U_{\alpha})_{\alpha}$, *i.e.*, , une famille d'isomorphismes $(\theta_{\alpha} \colon \mathcal{L} \mid_{U_{\alpha}} \xrightarrow{\sim} \mathcal{O}_{U_{\alpha}})_{\alpha}$. Soit σ une section globale non nulle de \mathcal{L} . Pour tout $\alpha \in \mathcal{A}$, notons $\sigma_{\alpha} = \theta_{\alpha}(\sigma \mid_{U_{\alpha}})$ et considérons l'idéal

$$I_{\alpha} = \left(\sigma_{\alpha}, \frac{\partial \sigma_{\alpha}}{\partial x_{1}^{\alpha}}, \dots, \frac{\partial \sigma_{\alpha}}{\partial x_{m}^{\alpha}}\right) \subset \mathcal{O}_{U_{\alpha}}(U_{\alpha})$$

Soit $\mathcal{J}_{\alpha} = \widetilde{I}_{\alpha}$ le faisceau d'idéaux de $\mathcal{O}_{U_{\alpha}}$ associé à I_{α} , alors les faisceaux \mathcal{J}_{α} se recollent le long des U_{α} en un faisceau d'idéaux de \mathcal{O}_{X} , que l'on notera \mathcal{J} . En effet pour tous α et β dans \mathcal{A} , si $U_{\alpha\beta}$ désigne $U_{\alpha} \cap U_{\beta}$, on a $\sigma_{\alpha\beta} = t_{\alpha\beta}\sigma_{\beta\alpha}$, où $\sigma_{\beta\alpha} = \sigma_{\beta}|_{U_{\alpha\beta}}$, $\sigma_{\alpha\beta} = \sigma_{\alpha}|_{U_{\alpha\beta}}$ et $t_{\alpha\beta} \in H^{0}(U_{\alpha\beta}, \mathcal{O}_{X}^{*})$, ainsi

$$\frac{\partial \sigma_{\alpha\beta}}{\partial x_i^{\alpha\beta}} = t_{\alpha\beta} \frac{\partial \sigma_{\beta\alpha}}{\partial x_i^{\beta\alpha}} + \sigma_{\beta\alpha} \frac{\partial t_{\alpha\beta}}{\partial x_i^{\beta\alpha}}$$

ce qui implique $\mathcal{J}_{\alpha}|_{U_{\alpha\beta}} = \mathcal{J}_{\beta}|_{U_{\alpha\beta}}$ comme sous-faisceaux de $\mathcal{O}_{U_{\alpha\beta}}$. Un calcul analogue permet de voir que le sous-schéma correspondant au faisceau d'idéaux \mathcal{J} ne dépend pas du recouvrement $\{U_{\alpha}\}_{\alpha}$ ni de la trivialisation $\{\theta_{\alpha}\}_{\alpha}$ choisis. Ceci donne alors un sens à la définition suivante :

Définition 1.1. Soient X, Y, f, \mathcal{L} , σ et \mathcal{J} comme ci-dessus. On appelle schéma polaire de σ par rapport au morphisme f, le sous-schéma fermé de X correspondant à \mathcal{J} qu'on notera $\mathbf{Pol}(f:X\to Y,\sigma)$ ou simplement $\mathbf{Pol}(f,\sigma)$ quand le contexte est clair.

D'après la construction faite ci-dessus on peut voir sans difficulté la

Proposition 1.2. Soit X, Y, f, \mathcal{L} et σ comme ci-dessus. Alors

- (i) $\operatorname{Pol}(f,\sigma)$ est égal au lieu singulier du morphisme $f|_{\Sigma}$ où Σ est le schéma des zéros de σ .
- (ii) Pour tout changement de base $h: Y' \to Y$ on a $\operatorname{Pol}(X \underset{Y}{\times} Y' \to Y', q^*\sigma) = \operatorname{Pol}(f, \sigma) \underset{Y}{\times} Y'$ où q désigne la projection $X \underset{Y}{\times} Y' \to X$.

Dans ce qui suit, nous allons décrire les schémas polaires des surfaces de \mathbb{P}^3 relativement aux morphismes induits par l'éclatement de \mathbb{P}^3 le long d'une droite générale, en établissant le lien qui existe entre ces schémas polaires et la notion des pinceaux de Lefschetz.

Définitions 1.3. Soit $\mathbb{P}^{3^{\vee}}$ l'espace des plans de \mathbb{P}^3 . Un point Π de $\mathbb{G}(1,\mathbb{P}^{3^{\vee}})$, la grassmannienne des droites de $\mathbb{P}^{3^{\vee}}$, s'appelle un pinceau de plans dans \mathbb{P}^3 . Considérant Π comme une droite dans $\mathbb{P}^{3^{\vee}}$, on écrira par abus de notation $\Pi = \{H_t\}_{t \in \mathbb{P}^1}$. On appelle axe du pinceau Π l'intersection de deux plans distincts quelconques de Π .

Définition 1.4. Soit $S \subset \mathbb{P}^3$ une surface lisse, un pinceau $\Pi = \{H_t\}_{t \in \mathbb{P}^1}$ s'appelle un pinceau de Lefschetz de S s'il vérifie les axiomes suivants :

- L1) L'axe Δ de Π coupe transversalement S.
- L2) Il existe un ouvert dense U de \mathbb{P}^1 tel que pour tout $t \in U$, H_t coupe transversalement S, et
- L3) pour tout $t_0 \in \mathbb{P}^1 \setminus U$, H_{t_0} coupe transversalement S sauf en un point x_0 , qui est un point singulier quadratique ordinaire de $H_{t_0} \cap S$, i.e., un point de multiplicité 2 avec des directions tangentes distinctes. (Le point x_0 est appelé point singulier du pinceau Π , on notera Sing Π l'ensemble de tels points.)

La notion des pinceaux de Lefschetz a été traitée par N.M.Katz (cf. [K1], [K2]) dans un cadre plus général qui est celui des sou-schémas lisses et irréductibles de \mathbb{P}^n pour n quelconque. Les résultats de ces travaux nous concernant sont réunis dans le

Théorème 1.5. Soit S une surface lisse de \mathbb{P}^3 . Alors

- (i) les pinceaux de Lefschetz de S existent ([Ka1], 2.5),
- (ii) ces pinceaux forment un ouvert dense de $\mathbb{G}(1,\mathbb{P}^{3^{\vee}})$ ([Ka1], 3.2.1).
- (iii) Si Π est un pinceau de Lefschetz de S, alors le cardinal de Sing Π (qui est fini par l'axiome L3) ne dépend pas de Π , plus précisément, c'est le degré de la surface duale de S, i.e., $\#\operatorname{Sing}\Pi = s(s-1)^2$ avec $s = \deg S$ ([Ka2], 3.2.10).

Remarque 1.6. Si Π est un pinceau de Lefschetz d'une surface $S \subset \mathbb{P}^3$, d'axe Δ , alors les axiomes (L1) et (L3) entraı̂nent le fait que Sing Π est contenu dans $S \setminus \Delta$. On montre, dans le résultat qui suit, que Sing Π est lisse et correspond à un schéma polaire particulier.

Théorème 1.7. Soit S une surface lisse de \mathbb{P}^3 de degré s, définie par un polynôme homogène F. Soit Π un pinceau de Lefschetz de S d'axe Δ . Soit $\eta \colon \widetilde{\mathbb{P}^3} \to \mathbb{P}^3$ l'éclatement de \mathbb{P}^3 en Δ , et soit $q \colon \widetilde{\mathbb{P}^3} \to \mathbb{P}^1$ la projection induite sur \mathbb{P}^1 . Notons $\widetilde{F} = \eta^* F$, alors

- (i) $\operatorname{Pol}(q, \widetilde{F}) = \eta^{-1}(\operatorname{Sing}\Pi).$
- (ii) $\operatorname{Pol}(q, \widetilde{F})$ est fini de cardinal égal à $s(s-1)^2$.
- (iii) Tous les points de Pol(q, F) sont simples.

Démonstration. Tout d'abord, comme η est un isomorphisme en dehors de Δ , on voit que l'assertion (ii) est une conséquence de (i) et de la remarque (1.6).

Soit $\{X_0,X_1,X_2,X_3\}$ un système de coordonnées homogènes de \mathbb{P}^3 tel que la droite Δ soit donnée par $X_0=X_1=0$. Notons $\mathbb{A}^3_i=\mathbb{P}^3\setminus\{X_i=0\}$, et $\widetilde{\mathbb{A}^3_i}=\eta^{-1}(\mathbb{A}^3_i)$. On a par définition

 $\mathbf{Pol}(q, \widetilde{F}) = \bigcup_{i=0}^{3} Pol_i \text{ avec } Pol_i = \mathbf{Pol}(q \mid_{\widetilde{\mathbb{A}}_i^3}, \widetilde{F}_i = \widetilde{F} \mid_{\widetilde{\mathbb{A}}_i^3}), \text{ ainsi pour prouver les assertions (1) et (3), il nous suffit de déterminer les <math>Pol_i$ pour tout i.

 $\frac{1^e\ Cas: i\in\{2,3\}}{x=X_0/X_2,\ y=X_1/X_2, \text{ et }z=X_3/X_2 \text{ les coordonnées affines de }\mathbb{A}^3_2, \text{ alors la droite }\Delta \text{ est définie par }x=y=0 \text{ et l'ouvert }\widetilde{\mathbb{A}}^3_2 \text{ est réunion des deux ouverts affines }\mathbb{A}^3_{(x,w,z)}=\operatorname{Spec} k[x,w,z] \text{ et }\mathbb{A}^3_{(y,v,z)}=\mathbb{A}^3_{(y,v,z)}=\mathbb{A}^3_{(x,w,z)}$

 $(x,w,z)\mapsto (x,xw,z)$ (resp. $(y,v,z)\mapsto (vy,y,z)$), et le morphisme $q\mid_{\mathbb{A}^3_{(x,w,z)}}$ (resp. $q\mid_{\mathbb{A}^3_{(y,v,z)}}$) s'écrit $(x,w,z)\mapsto w$ (resp. $(y,v,z)\mapsto v$). Soit $F_2(x,y,z)=F(x,y,1,z)$ l'équation de S dans \mathbb{A}^3_2 , alors on a

$$Pol_2 = V(\widetilde{F_2}, \frac{\partial \widetilde{F_2}}{\partial x}, \frac{\partial \widetilde{F_2}}{\partial z}) \cup V(\widetilde{F_2}', \frac{\partial \widetilde{F_2}'}{\partial y}, \frac{\partial \widetilde{F_2}'}{\partial z})$$

où $\widetilde{F_2}(x,w,z) = F_2(x,xw,z)$, et $\widetilde{F_2}'(y,v,z) = F_2(yv,y,z)$. Soit $M_0 = (x_0,w_0,z_0)$ un point de $V(\widetilde{F_2},\frac{\partial \widetilde{F_2}}{\partial x},\frac{\partial \widetilde{F_2}}{\partial z})$ ayant pour image $N_0 = (x_0,w_0x_0,z_0)$ et considérons le plan $H_{(w_0,1)}$ d'équation $w_0x - y = 0$, on a alors $H_{(w_0,1)} \in \Pi$ et N_0 est le nœud de la courbe $S_{(w_0,1)} = H_{(w_0,1)} \cap S$, i.e., $N_0 \in \operatorname{Sing}\Pi$. En effet la matrice jacobienne de $S_{(w_0,1)}$ a pour mineurs au point N_0 les quantités

$$\alpha = \frac{\partial F_2}{\partial x}\mid_{N_0} + w_0 \frac{\partial F_2}{\partial y}\mid_{N_0}, \ \beta = w_0 \frac{\partial F_2}{\partial z}\mid_{N_0}, \ \gamma = \frac{\partial F_2}{\partial z}\mid_{N_0}$$

qui sont nuls car $\alpha = \frac{\partial \widetilde{F_2}}{\partial x} \mid_{M_0} = 0$, $\beta = w_0 \frac{\partial \widetilde{F_2}}{\partial z} \mid_{M_0} = 0$ et $\gamma = \frac{\partial \widetilde{F_2}}{\partial z} \mid_{M_0} = 0$. Ce raisonnement étant valable si l'on remplace $\widetilde{F_2}$ par $\widetilde{F_2}'$ on a donc $Pol_2 \subset \eta^{-1}(\operatorname{Sing}\Pi)$. Inversement soit $N_0 = (x_0, y_0, z_0)$ un point de $\operatorname{Sing}\Pi$, alors $(x_0, y_0) \neq (0, 0)$ car $(\operatorname{Sing}\Pi) \cap \Delta = \emptyset$; soit par exemple $x_0 \neq 0$, on a donc $N_0 = \eta(x_0, y_0/x_0, z_0)$ et N_0 (d'après le calcul précédent) est dans $V(\widetilde{F_2}, \frac{\partial \widetilde{F_2}}{\partial x}, \frac{\partial \widetilde{F_2}}{\partial z})$, i.e., dans Pol_2 . Ceci démontre l'égalité de (i). Pour prouver (ii), il faut montrer que le déterminant de de la matrice jacobienne $J_2 = \operatorname{Jac}_{(x,w,z)}(\widetilde{F_2}, \frac{\partial \widetilde{F_2}}{\partial x}, \frac{\partial \widetilde{F_2}}{\partial z})$ (resp. $J_2' = \operatorname{Jac}_{(y,v,z)}(\widetilde{F_2}', \frac{\partial \widetilde{F_2}'}{\partial y}, \frac{\partial \widetilde{F_2}'}{\partial z})$) est non nul en tout point M de $V(\widetilde{F_2}, \frac{\partial \widetilde{F_2}}{\partial x}, \frac{\partial \widetilde{F_2}}{\partial z})$ (resp. $V(\widetilde{F_2}', \frac{\partial \widetilde{F_2}'}{\partial y}, \frac{\partial \widetilde{F_2}'}{\partial z})$). Un calcul simple montre que det $J_2 \mid_{M} = \frac{\partial \widetilde{F_2}}{\partial w} \left(\frac{\partial^2 \widetilde{F_2}}{\partial x^2} \frac{\partial^2 \widetilde{F_2}}{\partial z^2} - (\frac{\partial^2 \widetilde{F_2}}{\partial x \partial z})^2 \right) \mid_{M}$, et comme $\frac{\partial \widetilde{F_2}}{\partial w} \mid_{M} \neq 0$ (car sinon $\widetilde{S} = \eta^{-1}S$ serait singulière), alors il suffit de voir que $A = \left(\frac{\partial^2 \widetilde{F_2}}{\partial x^2} \frac{\partial^2 \widetilde{F_2}}{\partial z^2} - (\frac{\partial^2 \widetilde{F_2}}{\partial x \partial z})^2 \right) \mid_{M} \neq 0$.

Pour cela on considère un point $M_0=(x_0,w_0,z_0)$ de $V(\widetilde{F_2},\frac{\partial \widetilde{F_2}}{\partial x},\frac{\partial \widetilde{F_2}}{\partial z})$ d'image N_0 par η . On a $x_0\neq 0$ puisque $x_0\frac{\partial F_2}{\partial y}\mid_{N_0}=\frac{\partial \widetilde{F_2}}{\partial w}\mid_{M_0}\neq 0$, donc $S_{(w_0,1)}$ n'est pas contenue dans le plan x=0 et, si $S'_{(w_0,1)}$ désigne la projetée de $S_{(w_0,1)}$ sur le plan y=0, on a $S_{(w_0,1)}\simeq S'_{(w_0,1)}$ et $N'_0=(x_0,w_0)$ est le nœud de $S'_{(w_0,1)}$. Soit $h(x,z)=F_2(x,w_0x,z)$ l'équation de la courbe $X'_{(w_0,1)}$, le fait que le point N'_0 soit un nœud équivaut à $B=(\frac{\partial^2 h}{\partial x^2}\frac{\partial^2 h}{\partial z^2}-(\frac{\partial^2 h}{\partial x\partial z})^2)\mid_{N'_0}\neq 0$, et il est clair que A=B.

Pour voir (ii) il suffit de montrer que le déterminant de la matrice $J_0 = \operatorname{Jac}_{(x,y,z)}(F_0, \frac{\partial F_0}{\partial x}, \frac{\partial F_0}{\partial z})$ est non nul sur Pol_0 . Soit $M \in Pol_0$, on a $\det J_0 \mid_{M} = \frac{\partial F_0}{\partial x} (\frac{\partial^2 F_0}{\partial y^2} \frac{\partial^2 F_0}{\partial z^2} - (\frac{\partial^2 F_0}{\partial y \partial z})^2) \mid_{M}$ et comme $\frac{\partial F_0}{\partial x} \mid_{M} \neq 0$ (sinon S serait singulière), alors il suffit de voir que $A = (\frac{\partial^2 F_0}{\partial y^2} \frac{\partial^2 F_0}{\partial z^2} - (\frac{\partial^2 F_0}{\partial y \partial z})^2) \mid_{M} \neq 0$.

En raisonnant comme dans le premier cas, on voit que $A \neq 0$ équivaut au fait que le point M est de multiplicité 2 dans la courbe $S \cap T_M S$, mais ceci est assuré par l'axiome (L3) (cf. 1.4).

La preuve de la proposition ci-dessus montre que si l'on sait définir les pinceaux de Lefschetz d'une surface singulière, (c'est le cas pour les surfaces ayant un nombre fini de singularités, et à ma connaissance c'est le seul), on pourrait alors généraliser ladite proposition à une surface S singulière et irréductible; dans ce cas le schéma des pôles serait isomorphe à Sing $S \cup Sing \Pi$ où Π est un pinceau de Lefschetz pour S. Faute de pouvoir définir les pinceaux de Lefschetz d'une surface singulière, le thèorème (1.7) se laisse généraliser de la façon suivante :

Proposition 1.8. Soit S = V(F) une surface singulière et irréductible de \mathbb{P}^3 . Soit Δ une droite disjointe de Sing S coupant S transversallement. On définit deux morphismes η et q comme dans (1.7). Alors $\eta^{-1}(\operatorname{Sing} S)$ est un sous-schéma fermé de $\operatorname{Pol}(q, \eta^* F)$ et $\dim \operatorname{Pol}(q, \eta^* F) \leq 1$.

Démonstration. On va utiliser les notations de la preuve de (1.7). La question étant locale, on se place par exemple dans $\widetilde{\mathbb{A}}_2^3$. (Le cas de $\widetilde{\mathbb{A}}_3^3$ est analogue, celui de $\widetilde{\mathbb{A}}_0^3$ et $\widetilde{\mathbb{A}}_1^3$ est trivial.) Soit $M_0 = (x_0, w_0, z_0) \in \eta^{-1}(\operatorname{Sing} S)$, alors

$$\frac{\partial \widetilde{F_2}}{\partial x}\mid_{M_0} = \frac{\partial F_2}{\partial x}\mid_{\eta(M_0)} + w_0 \frac{\partial F_2}{\partial y}\mid_{\eta(M_0)} = 0 \text{ et } \frac{\partial \widetilde{F_2}}{\partial z}\mid_{M_0} = \frac{\partial F_2}{\partial z}\mid_{\eta(M_0)} = 0,$$

autrement dit $M_0 \in Pol_2$. Pour montrer la deuxième partie de l'assertion, on sait que dim $\operatorname{Pol}(q, \eta^* F)$ vaut au plus 2 car $\operatorname{Pol}(q, \eta^* F)$ est contenu dans \widetilde{S} et il est facile de voir que les points de $\eta^{-1}[S \setminus (\operatorname{Sing} S \cup (\Delta \cap S))]$ évitent $\operatorname{Pol}(q, \eta^* F)$, i.e., $\operatorname{Pol}(q, \eta^* F) \neq \widetilde{S}$. \square

Nous arrivons maintenant à la proposition-synthèse de cette section. On utilisera les

Notations 1.9. Pour tout entier $n \ge 0$, on note $D_n = \operatorname{Spec} k[t]/_{(t^{n+1})}$, où t est une indéterminée sur k. On note $\mathbb{A}^1 = \operatorname{Spec} k[t]$. Par $\{1\}$ (resp. $\{0\}$) on désigne le point de \mathbb{A}^1 correspondant à l'idéal (t-1) (resp. (t)), autrement dit, $\{1\} = \operatorname{Spec} k[t]/_{(t-1)}$ et $\{0\} = D_1$.

Proposition 1.10. Soit Δ une droite générale de \mathbb{P}^3 , on considère $\eta_0 \colon \widetilde{\mathbb{P}^3} \to \mathbb{P}^3$ l'éclatement de \mathbb{P}^3 en Δ et $q_0 \colon \widetilde{\mathbb{P}^3} \to \mathbb{P}^1$ la projection induite sur \mathbb{P}^1 . Soit s un entier positif, on considère F un élément de $H^0(\mathcal{O}_{\mathbb{P}^3 \times \mathbb{A}^1}(s))$ tel $G = F \mid_{\mathbb{P}^3 \times \{1\}}$ est lisse et $F_n = F \mid_{\mathbb{P}^3 \times D_n}$ est non nul pour tout n. On pose $\widetilde{\mathbf{Pol}} = \mathbf{Pol}(q_0 \times id_{\mathbb{A}^1}, (\eta_0 \times id_{\mathbb{A}^1})^*F)$ et $\mathbf{Pol}_n = \mathbf{Pol}(q_0 \times id_{D_n}, (\eta_0 \times id_{D_n})^*F_n)$. Alors

- (i) Pour tout $n \geq 0$, $\operatorname{\mathbf{Pol}}_0 = \operatorname{\mathbf{Pol}}_n \underset{D_n}{\times} \operatorname{Spec} \ k \ et \ \operatorname{\mathbf{Pol}}_n = \widetilde{\operatorname{\mathbf{Pol}}} \underset{\mathbb{A}^1}{\times} D_n = \widetilde{\operatorname{\mathbf{Pol}}} \cap (\widetilde{\mathbb{P}^3} \times D_n).$
- (ii) $\widetilde{\mathbf{Pol}} \underset{\mathbb{A}^1}{\times} \{1\} = \widetilde{\mathbf{Pol}} \cap (\widetilde{\mathbb{P}^3} \times \{1\}) = \mathbf{Pol}(q_0, \eta_0^* G)$, ce dernier est un schéma fini lisse de cardinal $l(s) := s(s-1)^2$.
- (iii) Le nombre de points de la fibre spéciale (i.e., au-dessus de 0) de la projection $\widetilde{\mathbf{Pol}}' \to \mathbb{A}^1$ est au plus l(s), où $\widetilde{\mathbf{Pol}}'$ désigne la fermeture dans $\widetilde{\mathbb{P}}^3 \times \mathbb{A}^1$ de $\widetilde{\mathbf{Pol}} \setminus \mathbf{Pol}_0$.

On suppose de plus que Sing $V(F_0)$ est une courbe, alors

- (iv) $\widetilde{\mathbf{Pol}}$ est un sous-schéma fermé de $\widetilde{\mathbb{P}^3} \times \mathbb{A}^1$ localement intersection complète de dimension 1 ; en particulier $\widetilde{\mathbf{Pol}}$ est Cohen-Macaulay.
- (v) Si f est une fonction non nulle définie sur $\widetilde{\mathbf{Pol}}$, alors (a) la dimension de toute composante irréductible de $\mathrm{Supp}(f)$ (i.e., le support de f) est ≥ 1 et (b) tout point isolé de $\mathrm{Supp}(f) \cap (\widetilde{\mathbb{P}}^3 \times \{0\})$ est dans $\widetilde{\mathbf{Pol}}'$; le nombre de tels points est $\leq l(s)$.

Démonstration. (i) C'est clair d'après (1.2, (ii)).

- (ii) La première partie est une conséquence de (1.2, (ii)). Pour prouver la deuxième partie, et en vue d'appliquer le thoérème (1.7), il suffit de voir que l'on peut considérer Δ comme l'axe d'un pinceau de Lefschetz de la surface V(G). Ceci est possible car, d'une part Δ est générale dans $\mathbb{G}(1,\mathbb{P}^3)$ et on a un isomorphisme $\mathbb{G}(1,\mathbb{P}^{3^\vee}) \xrightarrow{\sim} \mathbb{G}(1,\mathbb{P}^3)$ défini par la flèche $\Pi \mapsto$ l'axe de Π ; d'autre part, d'après (1.5, (ii)), un élément général de $\mathbb{G}(1,\mathbb{P}^{3^\vee})$ peut être vu comme un pinceau de Lefschetz de V(G).
- (iii) D'après le lemme (1.10.1) ci dessous, il existe un voisinage ouvert W de 0 dans \mathbb{A}^1 tel que le morphisme $\widetilde{\mathbf{Pol}}' \cap (\widetilde{\mathbb{P}^3} \times W) \to W$ soit plat et fini de fibre générale formée de l(s) points simples, ainsi la fibre spéciale est formée de m points, chacun de multiplicité égale à $p_i \geq 1$ avec $\Sigma_1^m p_i = l(s)$, d'où $m \leq l(s)$.
- (iv) La fibre spéciale $de\mathbf{Pol} \to \mathbb{A}^1$ (qui est \mathbf{Pol}_0 d'après (i)) est de dimension 1 puisqu'elle contient un sous-schéma isomorphe à $\operatorname{Sing}V(F_0)$ (cf. 1.8), et (quitte à se restreindre à un ouvert de \mathbb{A}^1 contenant 0 et 1) la fibre générale est de dimension 0 donc $\dim \mathbf{Pol} = 1$. Comme \mathbf{Pol} est défini localement par trois équations dans un espace lisse de dimension 4, alors il est localement intersection complète et donc, en vertu de ([H2], II-8.23), il est Cohen-Macaulay.
- (v) L'assertion (a) est une conséquence de (1.11). Pour montrer (b), on considère un point P isolé de $\mathrm{Supp}(f)\cap(\widetilde{\mathbb{P}^3}\times\{0\})$. Soit $Y\subset\mathrm{Supp}(f)$ une composante irréductible contenant P; d'après (a) on a $\dim Y\geq 1$, et comme P est isolé dans $\mathrm{Supp}(f)\cap(\widetilde{\mathbb{P}^3}\times)\{0\}$, alors $Y\not\subset\widetilde{\mathbb{P}^3}\times\{0\}$. Ceci implique que le point général de Y est dans $\widetilde{\mathrm{Pol}}'$, or $\widetilde{\mathrm{Pol}}'$ est un fermé, donc $Y\subset\widetilde{\mathrm{Pol}}'$ d'où $P\in\widetilde{\mathrm{Pol}}'$. \square

Lemme 1.10.1. Avec les notations ci-dessus, il existe un voisinage ouvert W de 0 dans \mathbb{A}^1 tel que le morphisme de projection $\widetilde{\mathbf{Pol}}' \cap (\widetilde{\mathbb{P}^3} \times W) \to W$ soit plat et fini de fibre générale formée de l(s) points simples.

Démonstration. Par hypothèse $F \mid_{\widetilde{\mathbb{P}^3} \times \{1\}}$ est lisse, donc il existe un voisinage ouvert $W' \subset \mathbb{A}^1$ de 1 tel que pour tout point fermé $\alpha \in W'$ on ait $F \mid_{\widetilde{\mathbb{P}^3} \times \{\alpha\}}$ lisse. En utilisant (1.7) on déduit que le morphisme $\widetilde{\mathbf{Pol}} \cap (\widetilde{\mathbb{P}^3} \times W') \to W'$ est fini de fibres formées de l(s) points simples, et quitte à réduire W' on peut le supposer plat. On a $\widetilde{\mathbf{Pol}} \cap (\widetilde{\mathbb{P}^3} \times W') = \widetilde{\mathbf{Pol}}' \cap (\widetilde{\mathbb{P}^3} \times W')$ (car $0 \notin W'$); on pose $W = W' \cup \{0\}$, c'est un voisinage de 0 dans \mathbb{A}^1 . Quitte à remplacer $\widetilde{\mathbf{Pol}}'$ par $\widetilde{\mathbf{Pol}}'_{\mathrm{red}}$ on peut supposer que $\widetilde{\mathbf{Pol}}'$ est réduit, ainsi pour montrer le lemme, il suffit de montrer qu'il n'y a pas de composante irréductible de $\widetilde{\mathbf{Pol}}' \cap (\widetilde{\mathbb{P}^3} \times W)$ dans la fibre au-dessus du point 0 (car W est un schéma intègre de dimension 1). Pour ce faire, soit $\alpha \in \widetilde{\mathbf{Pol}}' \cap (\widetilde{\mathbb{P}^3} \times \{0\})$ un élément de la fibre au-dessus de 0, alors il existe $\beta \in \widetilde{\mathbf{Pol}} \setminus (\widetilde{\mathbf{Pol}} \cap \widetilde{\mathbb{P}^3} \times \{0\})$ tel que $\alpha \in \overline{\{\beta\}}$. Le point β ne peut pas être dans la fibre au-dessus de 0 (par définition), ni dans la fibre au dessus d'un point fermé $a \neq 0$ de \mathbb{A}^1 car sinon α y serait aussi, donc β est dans la fibre du point générique de \mathbb{A}^1 , *i.e.*, $\beta \in \widetilde{\mathbf{Pol}} \cap (\widetilde{\mathbb{P}^3} \times W') = \widetilde{\mathbf{Pol}}' \cap (\widetilde{\mathbb{P}^3} \times W')$. On en déduit que β est dans une composante irréductible de $\widetilde{\mathbf{Pol}}'$ qui ne s'envoie pas sur 0; or $\alpha \in \overline{\{\beta\}}$, donc α est dans une composante irréductible de $\widetilde{\mathbf{Pol}}'$ qui ne s'envoie pas sur 0. Cela implique que α ne peut pas être le point générique d'une composante de $\widetilde{\mathbf{Pol}}'$ qui s'envoie sur 0. \square

Lemme 1.11. Soit X un schéma Cohen-Macaulay. Soit $f \in \Gamma(X, \mathcal{O}_X) \setminus \{0\}$. Alors pour toute composante irréductible Y de $\operatorname{Supp}(f)$ on $a \dim Y \geq 1$.

Démonstration. Soit x un point de Supp(f). Notons $B = \mathcal{O}_{X,x}$ et \mathbf{m} l'idéal maximal de B. Comme B est un anneau Cohen-Macaulay, alors il existe $\delta \in B$ tel que $\delta(x) = 0$ et δ est non-diviseur de

zéro dans B. On considère $I = \mathrm{Ann}(f_x) = \{z \in B \mid z.f_x = 0\}$, alors I est un idéal de B tel que $V(I) = \mathrm{Supp}(f)$ au voisinage de x. Supposons que $\dim_x \mathrm{Supp}(f) = 0$, alors au voisinage de x, $\mathrm{Supp}(f)$ est ensemblistement égal à $\{x\}$; autrement dit $\sqrt{I} = \mathbf{m}$. On a $\delta \in \mathbf{m}$ car $\delta(x) = 0$, soit n le plus petit entier tel que $\delta^n \in I$; alors

 $0 = \delta^n f_x = \delta(\delta^{n-1} f_x)$. Ceci est absurde car, d'une part $\delta^{n-1} f_x \neq 0$ par définition de n, et d'autre part δ est non-diviseur de zéro. \square

$\S 2$ - Déformations des surfaces à singularités ordinaires dans \mathbb{P}^3

2.1. Dans toute cette section on désigne par S_0 une surface intègre de \mathbb{P}^3 à singularités ordinaires, i.e., le lieu singulier de S_0 est une courbe double L_0 lisse sauf en un nombre fini de points triples T_1, \ldots, T_t et contenant un nombre fini de points-pinces P_1, \ldots, P_p (distincts des points triples) telle que pour tout $Q \in L_0$ on ait

$$\hat{\mathcal{O}}_{S_0,Q} \simeq \begin{cases} k[[t_1, t_2, t_3]]/(t_1 t_2 t_3) & \text{si } Q \in \{T_1, \dots, T_t\}; \\ k[[t_1, t_2, t_3]]/(t_2^2 - t_1^2 t_3) & \text{si } Q \in \{P_1, \dots, P_p\}; \\ k[[t_1, t_2, t_3]]/(t_1 t_2) & \text{sinon.} \end{cases}$$

Soit \widetilde{S}_0 la normalisée de S_0 que l'on supposera lisse. Soit $\varphi\colon \widetilde{S}_0\to \mathbb{P}^3$ le compositum $\widetilde{S}_0\overset{\nu}{\longrightarrow} \widetilde{S} \hookrightarrow \mathbb{P}^3$ où ν est le morphime de normalisation. Soit $\widetilde{L}_0=\varphi^{-1}L_0$, le morphisme $\varphi\mid_{\widetilde{L}_0}\colon \widetilde{L}_0\to L_0$ est de degré 2 ramifié le long de R_1,\ldots,R_p qui sont respectivement les images réciproques des points P_1,\ldots,P_p .

Définition 2.2. Soit X une variété lisse de dimension n sur le corps k. Soient u_1, \ldots, u_n des éléments de $\Gamma(U, \mathcal{O}_X)$ où U est un ouvert de X. On dira que $\{u_1, \ldots, u_n\}$ est un système de paramètres uniformisants dans U si $\{du_1, \ldots, du_n\}$ est une base de $\Omega_{X/k} \mid_U$.

Définition 2.3. Soit X un schéma, et soit $x \in X$ un point. Un voisinage étale de x dans X est la donnée d'un triplet (X', e, x') où $e: X' \longrightarrow X$ est un morphisme étale de schémas et x' est un point de X' tel que e(x') = x.

Avec ces notations et définitions on montre la

Proposition 2.4. Soit $Q \in L_0 \setminus \{T_1, \ldots, T_t, P_1, \ldots, P_p\}$. Soit F_0 l'équation de S_0 ; il existe un voisinage affine étale (V_0, e_0, Q') de Q dans \mathbb{P}^3 , et il existe $\{F_0^{(1)}, F_0^{(2)}, F_0^{(3)}\}$ un système de paramètres uniformisants autour de Q' tels que :

- (i) $e_0^*(F_0) = F_0^{(1)}.F_0^{(2)}$
- (ii) $V(F_0^{(1)})$ et $V(F_0^{(2)})$ sont lisses et se coupent transversalement en Q'.
- (iii) Quitte à se restreindre à un ouvert de V_0 on a $L_0'=e_0^{-1}L_0$ est défini par $F_0^{(1)}=F_0^{(2)}=0$.

Démonstration. Soient U un voisinage affine de Q dans \mathbb{P}^3 et $V=\varphi^{-1}(U)$; notons R un antécédent de Q. Soit $\{u,v\}$ (resp. $\{x,y,z\}$) un système de paramètres uniformisants dans V (resp. dans U). On peut supposer (quitte à effectuer un changement linéaire des paramètres) que u(R)=v(R)=0 et que x(P)=y(P)=z(P)=0. Notons $(\varphi_1,\varphi_2,\varphi_3)$ les composantes du morphisme φ . La matrice du morphisme tangent T_{φ} au voisinage de R possède un mineur non nul, par exemple, $\frac{\partial \varphi_1}{\partial u} \frac{\varphi_2}{\partial v} - \frac{\partial \varphi_1}{\partial v} \frac{\varphi_2}{\partial u}$, alors le morphisme

$$V \times \mathbb{A}^1 \xrightarrow{\psi} U$$

$$(u, v, t) \mapsto (\varphi_1(u, v), \varphi_2(u, v), \varphi_3(u, v) + t)$$

est étale au voisinage du point (R, 0).

Notons encore F_0 la restriction $F_0|_U$. Comme l'image de $\widetilde{S}_0 \times \{0\}$ par ψ est contenue dans S_0 , on a $\psi^*(F_0) = t.F_0^{(1)}$ où $F_0^{(1)}$ est une fonction définie sur $V \times \mathbb{A}^1$. Pour montrer la proposition, il suffit de prouver le :

Lemme 2.4.1. On pose $F_0^{(1)} = Au + Bv + Ct \pmod{(u,v,t)^2}$, alors $(A,B) \neq (0,0)$.

En effet si, par exemple, $A \neq 0$ et si l'on pose $F_0^{(2)} = t$, $F_0^{(3)} = v$ et Q' = (R, 0), alors

$$\mid \frac{\partial(F_0^{(1)}, F_0^{(2)}, F_0^{(3)})}{\partial(t, u, v)} \mid (Q') = \det \begin{pmatrix} C & A & B \\ 1 & 0 & 0 \\ 0 & 0 & 1 \end{pmatrix} = A \neq 0$$

et comme $F_0^{(1)}(Q')=0$ alors $\{F_0^{(1)},F_0^{(2)},F_0^{(3)}\}$ est un système de paramètres uniformisants autour de Q' (si $B\neq 0$ on prend $F_0^{(3)}=u$). Quitte à restreindre V à un voisinage ouvert de R, on peut supposer que $\{F_0^{(1)},F_0^{(2)},F_0^{(3)}\}$ est un système de paramètres uniformisants dans $V\times \mathbb{A}^1$.

On pose $V_0 = V \times \mathbb{A}^1$ et e_0 la composée de ψ et de l'immersion $U \hookrightarrow \mathbb{P}^3$. L'assertion (i) est claire. Pour montrer (ii), on remarque que $\frac{\partial F_0^{(1)}}{\partial u}(Q') = A \neq 0$ (i.e., $V(F_0^{(1)})$ est lisse en Q') et que A est un mineur de la matrice

$$\frac{\partial(F_0^{(1)}, F_0^{(2)})}{\partial(u, v, t)}(Q') = \begin{pmatrix} A & B & C \\ 0 & 0 & 1 \end{pmatrix}.$$

Montrons l'assertion (iii). On a $L_0 = V(F_0)$ et $e_0^*(F_0) = F_0^{(1)}F_0^{(2)}$, donc le lieu des points doubles de $e_0^*(F_0)$ est l'ensemble des zéros communs à $F_0^{(1)}$ et $F_0^{(2)}$. Donc ensemblistement $L_0' = V(F_0^{(1)}, F_0^{(2)})$. Comme L_0' est réduit (car L_0 est un schéma réduit et e_0 est étale) et $V(F_0^{(1)}, F_0^{(2)})$ est réduit (car $F_0^{(1)}$ et $F_0^{(2)}$ font partie d'un système de paramètres uniformisants), alors l'égalité $L_0' = V(F_0^{(1)}, F_0^{(2)})$ est une égalité schématique.

Preuve du lemme 2.4.1. On va montrer que A=B=0 implique $\mid \frac{\partial (e_0^*x, e_0^*y, e_0^*z)}{\partial (u, v, t)} \mid (Q') = 0$, ce qui contredit le fait que e_0 est étale en Q'. Posons

$$\begin{cases} x^*(u, v, t) = e_0^* x = a_{100} u + a_{010} v + a_{001} t + \text{des termes de } (u, v, t)^2 \\ y^*(u, v, t) = e_0^* y = b_{100} u + b_{010} v + b_{001} t + \text{des termes de } (u, v, t)^2 \end{cases}$$

On a alors

$$\mid \frac{\partial(e_0^*x, e_0^*y, e_0^*z)}{\partial(u, v, t)} \mid (Q') = \alpha \cdot \frac{\partial z^*}{\partial u}(Q') + \beta \cdot \frac{\partial z^*}{\partial v}(Q') + \gamma \cdot \frac{\partial z^*}{\partial t}(Q')$$

où $\alpha = a_{010}b_{001} - a_{001}b_{010}$, $\beta = a_{100}b_{001} - a_{001}b_{100}$ et $\gamma = a_{100}b_{010} - a_{010}b_{100}$.

D'autre part on a :

 $x^*.y^* = a_{100}b_{100}u^2 + a_{010}b_{010}v^2 + (a_{010}b_{100} + a_{100}b_{010})uv + \text{ des termes de } (u,v)^3 + t[(a_{001}b_{100} + a_{100}b_{001})u + (a_{001}b_{010} + a_{010}b_{001})v + a_{001}b_{001}t + \text{ des termes de } (u,v,t)^2].$

Quitte à changer les coordonnées, on sait que $\hat{\mathcal{O}}_{S_0,Q} \simeq k[[x,y,z]]/(xy)$ autrement dit, le développement de Taylor de F_0 est égal à xy, ainsi $x^*y^* = e_0^*F_0 = t.F_0^{(1)}$, ce qui implique en particulier les égalités suivantes :

 $A = a_{001}b_{100} + a_{100}b_{001}, \quad B = a_{001}b_{010} + a_{010}b_{001}, \quad a_{100}b_{100} = a_{010}b_{010} = a_{010}b_{100} + a_{100}b_{010} = 0.$ Celles-ci donnent dans le cas A = B = 0 les égalités

$$\alpha = -2a_{001}b_{010} = 2a_{010}b_{001}, \quad \beta = -2a_{001}b_{100} = 2a_{100}b_{001}, \quad \gamma = -2a_{010}b_{100} = 2a_{100}b_{010}$$
 d'où l'on déduit $\alpha = \beta = \gamma = 0$ en étudiant les 4 cas donnés par les égalités $a_{100}b_{100} = a_{010}b_{010} = 0$. \square

La première question que l'on pourrait se poser à propos de la proposition précédente est de savoir si celle-ci est est valable pour les déformations plates infinitésimales de S_0 ; le cas échéant, la surface S_0 ne pourra pas être lissifié. Nous allons montrer que la réponse est "oui" sous certaines conditions relatives à l'existence de courbes tracées sur S_0 découpant sur L_0 un nombre "assez suffisant" de points qui sera au moins le degré de la surface duale à S_0 . L'utilisation des schémas polaires définis dans la section 1 est la base sur laquelle reposera toute la démonstration. Nous aurons au préalable besoin de

Notations et hypothèses supplémentaires 2.5.

Soit S_0 comme dans (2.1), on supposera de plus que L_0 est lisse et irréductible. (Supposer que L_0 est irréductible ne nuira pas à la généralité dans la mesure où on pourra remplacer dans ce qui suit L_0 par une de ses composantes irréductibles.)

Soit $C_0 \subset S_0$ une courbe lisse et irréductible qui coupe L_0 en dehors des points-pinces et ce transversalement, on note $\{Q_1, \ldots, Q_r\} = C_0 \cap L_0$. Les points Q_1, \ldots, Q_r n'étant pas des points-pinces, on peut leur appliquer la proposition (2.4). Il existe donc un voisinage étale affine $(V_0, e_0, Q'_1, \ldots, Q'_r)$ des points Q_1, \ldots, Q_r dans \mathbb{P}^3 , avec $Q_i = e_0(Q'_i)$ pour tout i, et des paramètres uniformisants $\{F_0^{(1)}, F_0^{(2)}, F_0^{(3)}\}$ dans V_0 tels que :

- (i) $e_0^*(F_0) = F_0^{(1)}.F_0^{(2)}.$
- (ii) $V(F_0^{(1)})$ et $V(F_0^{(2)})$ sont lisses et se coupent transversalement en Q'.
- (iii) $L'_0 = e_0^{-1} L_0$ est défini par $F_0^{(1)} = F_0^{(2)} = 0$.

Pour tout $n \geq 0$, on pose $V_n = V_0 \times D_n$ et $e_n = e_0 \times 1_{D_n}$, donc $e_n : V_n \to \mathbb{P}^3_{D_n}$ est un revêtement étale de $\mathbb{P}^3_{D_n}$, et puique V_n (resp. $\mathbb{P}^3_{D_n}$) a le même espace sous-jacent que V_0 (resp. \mathbb{P}^3) on peut considérer Q'_1, \ldots, Q'_r (resp. Q_1, \ldots, Q_r) comme des points de V_n (resp. $\mathbb{P}^3_{D_n}$), ainsi $(V_n, e_n, Q'_1, \ldots, Q'_r)$ est un voisinage étale dans $\mathbb{P}^3_{D_3}$ des points Q_1, \ldots, Q_r . De plus, pour tout $n \geq 0$, on a $V_{n+1} = V_n \underset{D_{n+1}}{\times} D_n$ et $e_{n+1} \mid_{V_n} = e_n$.

On note ε_n l'image de t dans $k[t]/_{(t^{n+1})}$

Proposition 2.6. On garde les notations et les hypothèses précédentes. On suppose qu'il existe une famille de drapeaux $(C_n \subset S_n \subset \mathbb{P}^3_{D_n})_{n\geq 0}$, déformations infinitésimales plates du drapeau $(C_0 \subset S_0 \subset \mathbb{P}^3)$ avec, pour tout $n\geq 0$, $S_n = S_{n+1} \underset{D_{n+1}}{\times} D_n$ et $C_n = C_{n+1} \underset{D_{n+1}}{\times} D_n$. Notons s le degré de S_0 et, pour tout $n\geq 0$, $F_n \in H^0(\mathbb{P}^3_{D_n}, \mathcal{O}_{\mathbb{P}^3_{D_n}}(s))$ l'équation de S_n dans $\mathbb{P}^3_{D_n}$.

Si $r = \#(C_0 \cap L_0) > s(s-1)^2$, alors pour tout $n \ge 0$, il existe des fonctions $F_n^{(1)}$ et $F_n^{(2)}$ définies sur V_n telles que :

- (i) $F_0^{(1)}$ et $F_0^{(2)}$ sont les paramètres définis dans (2.4)
- (ii) $e_n^* F_n = F_n^{(1)} F_n^{(2)}$.
- (iii) $F_n^{(1)}|_{V_{n-1}} = F_{n-1}^{(1)}$ et $F_n^{(2)}|_{V_{n-1}} = F_{n-1}^{(2)}$.
- (iv) $F_n^{(1)}$ et $F_n^{(2)}$ font partie d'un système de paramètres uniformisants dans V_n .

Démonstration. On fait une réccurence sur n. Pour n=0, on applique la proposition (2.4).

Soit $n \geq 1$, on suppose le résultat vrai jusqu'à l'ordre n-1. Alors en particulier, il existe deux fonctions $F_{n-1}^{(1)}$ et $F_{n-1}^{(2)}$ sur V_{n-1} faisant partie d'un système de paramètres uniformisants telles que

$$e_{n-1}^*F_{n-1} = F_{n-1}^{\scriptscriptstyle (1)}F_{n-1}^{\scriptscriptstyle (2)}\ F_n^{\scriptscriptstyle (1)}\ |_{V_{n-1}} = F_{n-1}^{\scriptscriptstyle (1)}\ \text{et}\ F_n^{\scriptscriptstyle (2)}\ |_{V_{n-1}} = F_{n-1}^{\scriptscriptstyle (2)}.$$

Par construction, V_{n-1} est défini comme sous-schéma fermé du schéma affine V_n par $\varepsilon_n^n = 0$. On peut alors étendre arbitrairement les fonctions $F_{n-1}^{(1)}$ et $F_{n-1}^{(2)}$ en deux fonctions u et v définies sur

 V_n . On a $(e_n^* F_n - uv)|_{V_{n-1}} = 0$, donc il existe une fonction h définie sur V_n telle que (2.5.1) $e_n^* F_n = uv + \varepsilon_n^n h$

Et la proposition est démontrée si on prouve le :

Lemme 2.7. La fonction h définie dans (2.5.1) est égale à 0 modulo l'idéal (u, v, ε_n) .

En effet, si h = au + bv $[\varepsilon_n]$ alors $e_n^* F_n = uv + \varepsilon_n^n au + \varepsilon_n^n bv$. On pose $F_n^{(1)} = u + \varepsilon_n^n b$ et $F_n^{(2)} = v + \varepsilon_n^n a$, alors $e_n^* F_n = F_n^{(1)} F_n^{(2)}$, d'où les assertions (i) et (ii). L'assertion (iii) est évidente. Pour voir l'assertion (iv), on a $\Omega_{V_n/D_n} \underset{B_n}{\otimes} k \simeq \Omega_{V_0/L_0}$, comme $du \mid_{L_0} (= dF_0^{(1)})$ et $dv \mid_{L_0} (= dF_0^{(2)})$ sont linéairement indépendants dans Ω_{V_0/L_0} alors, par le lemme de Nakayama, du et dv le sont dans Ω_{V_n/D_n} , donc aussi $dF_n^{(1)}$ et $dF_n^{(2)}$ car

$$\frac{\partial F_n^{\scriptscriptstyle (1)}}{\partial u}\frac{\partial F_n^{\scriptscriptstyle (2)}}{\partial v}-\frac{\partial F_n^{\scriptscriptstyle (1)}}{\partial v}\frac{\partial F_n^{\scriptscriptstyle (2)}}{\partial u}=1+\varepsilon_n^n(\frac{\partial b}{\partial u}+\frac{\partial a}{\partial v})$$

est une unité.

(Preuve du lemme) On procèdera en trois étapes :

1ºÉtape: On va montrer que pour tout $i \in \{1, ..., r\}$ on a $h(Q'_i) = 0$.

Pour tout $j \geq 0$ notons C'_j l'image inverse par e_j de C_j , i.e., $C'_j = C_j \underset{\mathbb{P}^3_{D_j}}{\times} V_j$. Fixons un point

Q quelconque parmi les Q_i , il suffit de montrer $h \mid_{C'_0} (Q') = 0$.

On a F_{n-1} $|_{C_0} = 0$ et $e_{n-1}^*F_{n-1} = F_{n-1}^{(1)}F_{n-1}^{(2)}$. Comme $\mathcal{O}_{C_0',Q'}$ est intègre $(C_0'$ est lisse, car étale sur C_0 qui est lisse par hypothèse), alors dans $\mathcal{O}_{C_0',Q'}$ on a $F_{n-1}^{(1)}$ $|_{C_0'} = F_0^{(1)}$ $|_{C_0'} = 0$ ou $F_{n-1}^{(2)}$ $|_{C_0'} = F_0^{(2)}$ $|_{C_0'} = 0$. On suppose, par exemple, $F_{n-1}^{(1)}$ $|_{C_0'} = 0$. Les courbes C_0 et L_0 sont transverses en Q, donc C_0' et $L_0' = e_0^{-1}(L_0)$ le sont aussi en Q', et comme L_0' est définie par l'idéal $(F_0^{(1)}, F_0^{(2)})$, alors $F_{n-1}^{(2)}$ $|_{C_0'} \neq 0$ dans $\mathcal{O}_{C_0',Q'}$. Par ailleurs, dans $\mathcal{O}_{C_{n-1}',Q'}$ on a $F_{n-1}^{(1)}F_{n-1}^{(2)}$ $|_{C_{n-1}'} = 0$ (car $C_{n-1} \subset S_{n-1}$), et $F_{n-1}^{(2)}$ $|_{C_0'} \neq 0$ implique $F_{n-1}^{(1)}$ $|_{C_{n-1}'} = 0$; pour le voir on utilisera le fait que $\mathcal{O}_{C_{n-1}',Q'}$ est isomorphe à $\mathcal{O}_{C_0',Q'} \otimes k[t]/(t^n)$ puisque localement les déformations infinitésimales des courbes lisses sont triviales. Dans $\mathcal{O}_{C_n',Q'}$, via un isomorphisme $\mathcal{O}_{C_n',Q'} \simeq \mathcal{O}_{C_0',Q'} \otimes k[t]/(t^{n+1})$ choisi, on écrit :

 $\underline{\mathbf{2^0\acute{E}tape}}$: On va se placer dans la situation de la proposition (1.10). Soit Δ une droite générale de \mathbb{P}^3 , on considère $\eta_0:\widetilde{\mathbb{P}^3}\to\mathbb{P}^3$ l'éclatement de \mathbb{P}^3 en Δ et $q_0:\widetilde{\mathbb{P}^3}\to\mathbb{P}^1$ la projection induite sur \mathbb{P}^1 .

Soit $G \in H^0(\mathbb{P}^3, \mathcal{O}_{\mathbb{P}^3}(s))$ tel que la surface V(G) soit lisse. Soit $F \in H^0(\mathcal{O}_{\mathbb{P}^3 \times \mathbb{A}^1}(s))$ tel $G = F \mid_{\mathbb{P}^3 \times \{1\}}$ et $F_n = F \mid_{\mathbb{P}^3 \times D_n}$. (Le polynôme F existe car l'application naturelle

$$H^0(\mathcal{O}_{\mathbb{P}^3 \times \mathbb{A}^1}(s)) \xrightarrow{\Phi} H^0(\mathcal{O}_{\mathbb{P}^3_{D_n}}(s)) \times H^0(\mathcal{O}_{\mathbb{P}^3 \times \{1\}}(s))$$

est surjective par le lemme chinois.)

On pose $\mathbf{Pol} = \mathbf{Pol}(q_0 \times id_{\mathbb{A}^1}, (\eta_0 \times id_{\mathbb{A}^1})^*F)$, et $\mathbf{Pol}_n = \mathbf{Pol}(q_n, \eta_n^*F_n)$ avec $\eta_n = \eta_0 \times id_{D_n}$ et $q_n = q_0 \times id_{D_n}$. Nous avons alors le

Sous-lemme 2.7.1. On suppose $h \not\equiv 0 \pmod{(u,v,\varepsilon_n)}$. Soit $R' \in L'_0$ tel que h(R') = 0. Notons $e_n(R') = R$, alors

- 1) Il existe un ouvert $\mathcal{U} \subset \mathbf{Pol}_n$ tel que $\dim(\mathbf{Pol}_n \setminus \mathcal{U}) = 0$ autour de R et $\mathcal{U} \subset \widetilde{\mathbb{P}^3} \times D_{n-1}$.
- 2) R est un point immergé de \mathbf{Pol}_n ; plus précisément, le support de la fonction $\varphi := \varepsilon_n^n \mid_{\mathbf{Pol}_n}$ contient R comme point isolé.
- 3) Soit $\widetilde{\varphi} = t^n \mid_{\widetilde{\mathbf{Pol}}}$, alors Supp $(\widetilde{\varphi}) \cap (\widetilde{\mathbb{P}^3} \times \{0\})$ contient $R \times \{0\}$ comme point isolé.

Démonstration. La droite Δ peut être choisie de telle manière qu'elle soit disjointe de L_0 . Ainsi le point R peut être vu comme point de Pol (car $\mathbb{P}^3 \setminus \Delta \simeq \widetilde{\mathbb{P}^3} \setminus \widetilde{\Delta}$), et R est un point de Pol_n car $R \in L_0$ (cf. 1.8).

(1) On se place dans un voisinage de R. Comme on est en dehors de Δ , alors le morphisme q_0 au voisinage de R n'est autre que la projection de centre Δ , i.e, $q_0(x,y,z)=z$ où (x,y,z) est un système de paramètres locaux autour de R. Localement, Pol_0 est défini par l'idéal $(F_0, \frac{\partial F_0}{\partial x}, \frac{\partial F_0}{\partial y})$, donc dans V_n le schéma Pol'_n , préimage de Pol_n , est défini autour de R' par l'idéal

$$(uv + \varepsilon_n^n h, v + \varepsilon_n^n \frac{\partial h}{\partial u}, u + \varepsilon_n^n \frac{\partial h}{\partial v}).$$

Ce dernier étant contenu dans (u, v, ε_n) , on a $h \neq 0 \pmod{(u, v, \varepsilon_n)}$ sur \mathbf{Pol}'_n . Posons

 $\mathcal{U} = \{ M \in \mathbf{Pol}_n \text{ tel qu'il existe } M' \in \mathbf{Pol}'_n \text{ au-dessus de } M \text{ avec } h(M') \neq 0 \pmod{(u, v, \varepsilon_n)} \}.$

Considérons $\mathcal{U}' = e_n^{-1}\mathcal{U}$; ensemblistement $\mathcal{U}' = \{M' \in \mathbf{Pol}'_n \mid h(M') \neq 0 \pmod{(u,v,\varepsilon_n)}\}$. Alors \mathcal{U}' est un ouvert non vide de \mathbf{Pol}'_n (par hypothèse), ainsi \mathcal{U} est un ouvert non vide de \mathbf{Pol}_n et donc dim $(\mathbf{Pol}_n \setminus \mathcal{U}) = 0$. Soit $M' \in \mathcal{U}'$, on a par définition

$$-\varepsilon_n^n h(M') = uv(M') = (-\varepsilon_n^n \frac{\partial h}{\partial v})(-\varepsilon_n^n \frac{\partial h}{\partial u})(M') = 0$$

et puisque la fonction h est inversible sur \mathcal{U}' , on a $\varepsilon_n^n \mid_{\mathcal{U}'} = 0$, et donc $\varepsilon_n^n \mid_{\mathcal{U}} = 0$. Mais $\varepsilon_n^n = 0$ est l'équation de D_{n-1} dans D_n , alors $\mathcal{U} \subset \widetilde{\mathbb{P}^3} \times D_{n-1}$.

(2) Il suffit de montrer que (a) dim (Supp φ) = 0 et que (b) $\varphi \neq 0$ au voisinage de R.

Pour voir (a) considérons un point $x \in \mathcal{U}$, alors $\varphi = 0$ au voisinage de x puisque, d'après (1) ci-dessus, $\mathcal{U} \subset \mathbb{P}^3_{D_{n-1}}$, donc $x \notin \operatorname{Supp} \varphi$. D'où Supp $\varphi \subset \operatorname{Pol} \setminus \mathcal{U}$ et est donc de dimension 0.

Montrons (b). Comme tous les calculs sont locaux, on confondra R et \mathbf{Pol}_n respectivement avec R' et \mathbf{Pol}_n' . Soit (u', v', z) le système de coordonnées locales autour de R donné par

$$u' = u + \varepsilon_n^n \frac{\partial h}{\partial v}, \ v' = v + \varepsilon_n^n \frac{\partial h}{\partial u}$$

Soit Σ le schéma défini par u'=v'=z=0. Alors $\Sigma\simeq D_n$, (ensemblistement, c'est R et schématiquement c'est le point immergé), et $\varphi\mid_{\Sigma}\neq 0$. Il reste à voir que Σ est un sous-schéma fermé de \mathbf{Pol}_n . Puisque h(R)=0, on a $h=au'+bv'+cz+d\varepsilon_n$, et donc sur Σ on a $uv+\varepsilon_n^n\frac{\partial h}{\partial v}=\varepsilon_n^n(au'+bv'+cz+d\varepsilon_n)$; autrement dit, $\mathbf{Pol}_n\cap\Sigma=\Sigma$. D'où l'immersion $\Sigma\subset\mathbf{Pol}_n$.

(3) On se place dans un voisinage de R. On a $\mathbf{Pol}_n = \widetilde{\mathbf{Pol}} \cap (\widetilde{\mathbb{P}^3} \times D_n)$ (cf. 1.10), donc $\mathcal{O}_{\mathbf{Pol}_n,R} = \mathcal{O}_{\widetilde{\mathbf{Pol}},R}/_{(t^{n+1})}$ et $\varphi = \widetilde{\varphi} \pmod{t^{n+1}}$ ($\operatorname{car} \widetilde{\varphi} \mid_{\mathbf{Pol}_n} = \varphi$, ainsi $\widetilde{\varphi} \neq 0$ ($\operatorname{car} \varphi \neq 0$) et $R \in \operatorname{Supp} \widetilde{\varphi}$ ($\operatorname{car} R \in \operatorname{Supp} \varphi$). Reste à voir que R est un point isolé dans $\operatorname{Supp} (\widetilde{\varphi}) \cap (\widetilde{\mathbb{P}^3} \times \{0\})$. Pour cela considérons $x \in \widetilde{\mathbf{Pol}}$ un point général, par exemple $x \in \mathcal{U} \cap \widetilde{\mathbf{Pol}}$ où \mathcal{U} est l'ouvert défini dans le paragraphe (1) ci-dessus. Montrons que $x \notin \operatorname{Supp} \widetilde{\varphi}$.

On a $x \neq R$ (car $R \notin \mathcal{U}$), et puisque $\varphi \mid_{\mathcal{U}} = 0$ alors $\varphi_x = 0$. Il suffit donc de montrer que le morphisme $\mathcal{O}_{\widetilde{\mathbf{Pol}},x} \to \mathcal{O}_{\mathbf{Pol},x} = \mathcal{O}_{\widetilde{\mathbf{Pol}},x}/_{(t^{n+1})}$ est injectif (car il envoie $\widetilde{\varphi_x}$ sur φ_x).

On a $\mathcal{O}_{\mathbf{Pol}_n,x} = \mathcal{O}_{\widetilde{\mathbf{Pol}},x}/_{t^{n+1}}$, or $\mathcal{U} \subset \widetilde{\mathbb{P}}^3 \times D_{n-1}$, donc $t^n.\mathcal{O}_{\mathbf{Pol}_n,x} = 0$, et donc $t^n.\mathcal{O}_{\widetilde{\mathbf{Pol}},x} \subset t^{n+1}.\mathcal{O}_{\widetilde{\mathbf{Pol}},x}$. Ceci entraı̂ne que pour tout $m \geq n$ on a $t^m.\mathcal{O}_{\widetilde{\mathbf{Pol}},x} \subset t^{m+1}.\mathcal{O}_{\widetilde{\mathbf{Pol}},x}$, i.e.,

 $t^n.\mathcal{O}_{\widetilde{\mathbf{Pol}},x} \subset \bigcap_{m\geq 1} t^{m+n}.\mathcal{O}_{\widetilde{\mathbf{Pol}},x}$; et par le théorème de Krull, ceci implique $t^n.\mathcal{O}_{\widetilde{\mathbf{Pol}},x} = 0$. D'où $\mathcal{O}_{\mathbf{Pol}_n,x} = \mathcal{O}_{\widetilde{\mathbf{Pol}},x}$.

<u>3ºÉtape et fin</u>: On suppose $h \not\equiv 0 \pmod{(u,v,\varepsilon_n)}$. Alors d'après (2.7.1, (3)) et (1.10, (v)), le nombre des zéros de $h \mid_{L'_0}$ est au plus $s(s-1)^2$. Ainsi l'hypothèse $r > s(s-1)^2$ et le résultat de la 1ère étape impliquent le lemme. \square

Ce que dit, plus ou moins implicitement, la proposition précédente est que la condition $r > s(s-1)^2$ suffit pour qu'aucune déformation plate de S_0 contenant une déformation plate de C_0 ne puisse lissifier le lieu double de S_0 . Plus précisément on montre la

Proposition 2.8. Soit $S_0 \subset \mathbb{P}^3$ une surface à singularités ordinaires comme dans (2.5), dont la courbe double L_0 est lisse et connexe. Soit $C_0 \subset S_0$ une courbe lisse et connexe qui coupe L_0 en dehors des points-pinces en r points et ce transversalement. On suppose qu'il existe une déformation plate \mathfrak{C} (resp. \mathfrak{S}) de C_0 (resp. S_0) dans \mathbb{P}^3 via A = k[[t]], avec $\mathfrak{C} \subset \mathfrak{S}$. Notons s le degré de S_0 . Si $r > s(s-1)^2$, alors \mathfrak{S} est singulière le long d'un sous-schéma (fermé) \mathfrak{L} avec

- (i) \mathfrak{L} est une déformation plate de L_0 sur $\mathcal{Z} = \operatorname{Spec} A$.
- (ii) La fibre générique de $\mathfrak S$ est une surface singulière contenant la fibre générique de $\mathfrak L$ comme courbe double.

Démonstration. Soit $\mathfrak{L} \subset \mathfrak{S}$ le lieu où la projection $\mathfrak{S} \longrightarrow \mathcal{Z}$ n'est pas lisse, c'est un sous-schéma fermé de \mathfrak{S} tel que $\mathfrak{L} \cap (\mathbb{P}^3 \times D_0) = L_0$ et $\mathfrak{L} \cap (\mathbb{P}^3 \times D_m) = L_m$ est le lieu singulier de la projection $S_m \longrightarrow D_m$ où $S_m = \mathfrak{S} \mid_{\mathbb{P}^3_{D_m}}$.

(i) $Pas\ 1$. Pour tout entier naturel m, le morphisme $L_m \to D_m$ est lisse en dehors des points-pinces. En effet, nous sommes dans les hypothèses de la proposition (2.6), en particulier $r > s(s-1)^2$, donc, en dehors des points-pinces, L_m est définie par $u_m = v_m = 0 \pmod{\varepsilon_m}$ à un revêtement étale près. Or u_0 et v_0 sont transverses, donc Jac $(u_0, v_0) \neq 0$, ainsi Jac $(u_m, v_m) \neq 0 \pmod{\varepsilon_m}$, et ceci implique que l'intersection des nappes $(u_m = 0)$ et $(v_m = 0)$ est lisse sur D_m .

Pas 2. La courbe L_0 n'est pas ensemblistement une composante irréductible de \mathfrak{L} . Sinon, considérons U, une composante irréductible de \mathfrak{L} telle que $U_{\text{red}} = L_0$. Soit \mathcal{N} l'idéal de L_0 dans U, (i.e. le nilradical de $\Gamma(U, \mathcal{O}_U)$. Alors il existe un entier n_0 tel que $\mathcal{N}^{n_0} = 0$. Par ailleurs, pour tout $m \geq 0$, on a $L_m \simeq L_0 \times D_m$ (dans la topologie étale) car $L_m \longrightarrow D_m$ est lisse en dehors des points-pinces (cf. le pas 1), donc $(L_m)_{red} = L_0$. Ainsi $L_m \subset U$. On va voir que pour $m > n_0$, ceci est impossible : on a $t \mid_{L_0} = 0$ (car \mathbb{P}^3_k est le sous-schéma fermé de \mathbb{P}^3_A défini par l'équation t = 0), ce qui implique $t \mid_{U} \in \mathcal{N}$, donc $t^{n_0} \mid_{U} = 0$, et, comme on vient de le montrer, $t^{n_0} \mid_{L_m} = 0$ pour tout m, mais ceci est impossible si $m \geq n_0$ car $t^{n_0} \mid_{D_m} = \varepsilon_m^{n_0} \neq 0$.

Conclusion. Le morphisme $\mathfrak{L}_{red} \longrightarrow \mathcal{Z}$ est plat car la fibre au-dessus du point fermé, à savoir la droite L_0 , n'est pas ensemblistement une composante irréductible de \mathfrak{L} (cf. le pas 2). Donc le schéma \mathcal{L} est plat sur \mathcal{Z} . Ceci démontre l'assertion (i).

(ii) Notons b le point ouvert de \mathcal{Z} et \mathfrak{L}_b la fibre (générique) de \mathfrak{L} au-dessus de b. Montrons que le lieu double de \mathfrak{S}_b est ensemblistement égal à \mathfrak{L}_b .

On a $\mathfrak{L}_b \stackrel{ensembl.}{=} L_0$. Notons $\mathcal{J} = \mathcal{J}_{L_0/\mathbb{P}^3}$ et f_b l'équation de \mathfrak{S}_b . Puisque L_0 est singulière dans \mathfrak{S}_b , alors $f_b \in H^0(\mathcal{J}^2(s))$. Soit $\bar{f}_b \in H^0(\mathcal{J}^2/\mathcal{J}^3(s)) = H^0(\operatorname{Sym}^2 \mathcal{N}_{L_0/\mathbb{P}^3}^{\vee}(s))$ l'image de f_b . Alors \bar{f}_b est une forme quadratique. Dire que L_0 est une courbe double, équivaut à dire que la forme

quadratique \bar{f}_b est non dégénérée au point général de L_0 , i.e., de discriminant non nul. Si c'est vrai au point point fermé de \mathcal{Z} , c'est vrai au point générique b, par semi-continuité du discriminant. \square

Dans la proposition précédente, l'existence de la surface \mathfrak{S} , qui est une hypothèse essentielle, est en général très difficile à réaliser. Nous allons voir dans ce qui suit, qu'en imopsant certaines conditions sur le genre et le degré de C_0 , cette hypothèse est toujours vraie. Plus précisément nous avons la

Proposition 2.9. Soient S_0 , L_0 , C_0 , r, s comme dans la proposition précédente. On note d et g respectivement le degré et le genre de C_0 . On suppose $r > s(s-1)^2$. Si $d > s^2$ et g > G(d, s+1) alors, pour toute déformation plate \mathfrak{C} dans \mathbb{P}^3 de C_0 via A = k[[t]], il existe une surface $\mathfrak{S} \subset \mathbb{P}^3_A$ de degré s telle que

- (i) \mathfrak{S} est une déformation plate de S_0 via A contenant \mathfrak{C} comme sous-schéma fermé.
- (ii) \mathfrak{S} est une surface singulière de lieu singulier une courbe double, déformation plate de L_0 .

Démonstration. La conclusion de (i) est une conséquence immédiate du lemme (2.10) ci-dessous appliqué à n = s. On en déduit (ii) d'après (2.8). \square

Lemme 2.10. Soit $C \subset \mathbb{P}^3$ une courbe lisse et connexe de degré d et genre g, tracée sur une surface intègre S de degré s. On suppose g > G(d, n+1) pour un certain entier $n \geq s$. Alors, pour toute déformation plate \mathfrak{C} de C dans \mathbb{P}^3 , paramétrée par un anneau de valuation discrète A sur k, il existe une famille \mathfrak{T} de surfaces de \mathbb{P}^3_A , de degré n telle que :

- (i) $\mathfrak C$ est un sous-schéma fermé de $\mathfrak T$ plat sur $\mathcal Z=\operatorname{Spec} A.$
- (ii) Si de plus d>s.n, alors la fibre spéciale de $\mathfrak T$ est égale à $S\cup\Lambda$, où Λ est une surface de degré n-s.

Démonstration. Précisons d'abord quelques notations : on note a, (resp. b) le point fermé (resp. le point ouvert) de \mathcal{Z} . Soit π un générateur de l'idéal maximal de A tel que $v(\pi) = 1$ où v désigne la valuation de A. Soit K le corps de fractions de A.

La fibre générique $\mathfrak{C}_b = \mathfrak{C} \times \operatorname{Spec} K$ est une courbe lisse et connexe de \mathbb{P}^3_K , de degré d et genre g. Puisque g > G(d, n+1), alors, par définition de G(d, n+1), il existe une surface $X \subset \mathbb{P}^3_K$ de degré n (éventuellement réductible) contenant \mathfrak{C}_b . Soit $\xi \in H^0(\mathcal{O}_{\mathbb{P}^3_K}(n))$ le polynôme homogène définissant X. Posons $r = -\min\{v(c), c \text{ est un coefficient de } \xi\}$ et $h = \xi \pi^r$, alors h est un polynôme non nul à coefficients dans A, car $v(c.\pi^r) = v(c) + r \geq 0$ pour tout coefficient c de ξ , définissant ainsi une surface \mathfrak{T} de degré n dans \mathbb{P}^3_A . Nous allons voir que \mathfrak{T} répond aux assertions (i) et (ii).

- (i) Les deux fibres du morphisme induit $\mathfrak{T} \to \mathcal{Z}$ étant définies par des polynômes non nuls, car la fibre \mathfrak{T}_a (resp. \mathfrak{T}_b) au-dessus de a (resp. b) est définie par la classe de h modulo l'idéal maximal de A (resp. égale à X), alors ([M2], Example P, p. 299) $\mathfrak{T} \to \mathcal{Z}$ est plat. Le morphisme $\mathfrak{C} \to \mathcal{Z}$ étant plat, on a \mathfrak{C} irréductible et son point générique η s'envoie sur b. Comme \mathfrak{C}_b est contenue dans \mathfrak{T}_b , alors $\eta \in \mathfrak{T}$. On en déduit l'inclusion $\mathfrak{C} \subset \mathfrak{T}$ sachant que \mathfrak{T} est un sous-schéma fermé de \mathbb{P}^3_A .
- (ii) D'après ce qui précède, on a $C = \mathfrak{C}_a \subset \mathfrak{T}_a \cap S$ et $\deg(\mathfrak{T}_a) = n$, ainsi l'hypothsèse $\deg(C) > s.n$ implique nécessairement $\dim(\mathfrak{T}_a \cap S) = 2$; comme S est irréductible, ceci implique $S \subset \mathfrak{T}_a$. Soit f (resp. h_a) le polynôme définissant S, (resp. \mathfrak{S}_a), alors f divise h_a , et la surface Λ cherchée est celle définie par le quotient $\frac{h_a}{f}$. \square

Nous arrivons maintenant au résutat principal de cette section. (Nous verrons son utilité, dans la prochaine section, pour construire des exemples de composantes non réduites du schéma

de Hilbert $H_{d,g}$.). Rappelons que la normalisée \widetilde{S}_0 de S_0 est supposée lisse, donc ce n'est autre que l'éclatement de S_0 le long de L_0 , c'est aussi la transformée de S_0 via l'éclatement de \mathbb{P}^3 le long de L_0 .

Proposition 2.11. Soient S_0 , L_0 , C_0 , r, s comme dans la proposition (2.8). On note d et g respectivement le degré et le genre de C_0 . Soit $\widetilde{C}_0 \subset \widetilde{S}_0$ la transformée stricte de C_0 . Si

- (1) $r > 2s(s-1)^2$
- (2) $d > s\sigma$ et $g > G(d, \sigma + 1)$ pour un certain entier σ tel que $s < \sigma < 2s$.
- (3) $h^0(\mathcal{O}_{\widetilde{S}_0}(-\widetilde{C}_0)(\sigma)) = h^1(\mathcal{O}_{\widetilde{S}_0}(-\widetilde{C}_0)(s)) = 0.$

Alors, pour toute déformation plate \mathfrak{C} dans \mathbb{P}^3 de C_0 via A = k[[t]], il existe une surface $\mathfrak{S} \subset \mathbb{P}^3_A$ de degré σ vérifiant les assertions (i) et (ii) de la proposition (2.9).

Démonstration. Soit $\mathfrak{C} \subset \mathbb{P}^3_A$ une déformation plate de C_0 . Comme $d > s\sigma$ et $g > G(d, \sigma + 1)$ alors d'après (2.10), il existe une surface $\mathfrak{T} \subset \mathbb{P}^3_A$ de degré σ , plate sur A et contenant \mathfrak{C} comme sous-schéma fermé; de plus la fibre spéciale de \mathfrak{T} est égale à $S_0 \cup \Lambda_0$ où Λ_0 est une surface de degré $\sigma - s$.

Il nous suffit de montrer que la surface \mathfrak{T} ainsi définie est égale à $\Lambda \cup \mathfrak{S}$ où \mathfrak{S} (resp. Λ) est une déformation plate, paramétrée par A, de S_0 (resp. Λ_0). En effet, puisque \mathfrak{C} est irréductible et $\mathfrak{C} \subset \mathfrak{S} \cup \Lambda$, on a $\mathfrak{C} \subset \mathfrak{S}$ ou $\mathfrak{C} \subset \Lambda$. Cette dernière inclusion est exclue puisque, d'une part aucune composante irréductible de Λ_0 n'est contenue dans S_0 (car S_0 est irréductible), et $S_0 \not\subset \Lambda_0$ (car $\deg \Lambda_0 < s$) et donc $S_0 \cap \Lambda_0$ est une courbe de degré $s(\sigma - s)$. D'autre part, comme deg $S_0 \subset \mathfrak{S}$ 0 est irréductible) a $\mathfrak{C}_0 \subset \mathfrak{S}$ 1 et donc $\mathfrak{C}_0 \subset \mathfrak{S}$ 2 $\mathfrak{C}_0 \subset \mathfrak{S}$ 3 et donc $\mathfrak{C}_0 \subset \mathfrak{S}$ 4 désigne le point fermé de Spec $S_0 \subset \mathfrak{S}$ 5 et donc $\mathfrak{C} \subset \mathfrak{S}$ 6. Ainsi \mathfrak{S} 6 vérifie la conclusion (i) de (2.9); en utilisant (2.8) déduit l'assertion (ii) et la proposition est démontrée.

Soit $h \in H^0(\mathcal{O}_{\mathbb{P}^3_A}(\sigma))$ l'équation de la surface \mathfrak{T} , on a $h = \sum_{i \geq 0} h_i t^i$ où $h_i \in H^0(\mathcal{O}_{\mathbb{P}^3_k}(\sigma))$ pour tout $i \geq 0$. Pour tout $n \geq 0$, on pose $\mathfrak{T}_n = \mathfrak{T} \underset{\mathrm{Spec}}{\times} A D_n \subset \mathbb{P}^3_{D_n}$ et $C_n = \mathfrak{C} \underset{\mathrm{Spec}}{\times} A D_n \subset \mathbb{P}^3_{D_n}$.

Pour tout $n \geq 0$, soit $h_{(n)}$ l'équation de \mathfrak{T}_n dans $\mathbb{P}^3_{D_n}$; par définition, $h_{(n)} = h_0 + h_1 \varepsilon_n + \ldots + \varepsilon_n^n h_n$. Avec ces notations, pour montrer l'existence des surfaces Λ et \mathfrak{S} comme ci-dessus, il revient au même de démontrer le

 $\textbf{Lemme 2.12.} \ \textit{Il existe deux suites} \ (f_{(n)})_n \in \prod_{n \geq 0} H^0(\mathcal{O}_{\mathbb{P}^3_{D_n}}(s)) \quad et \ \ (\lambda_{(n)})_n \in \prod_{n \geq 0} H^0(\mathcal{O}_{\mathbb{P}^3_{D_n}}(\sigma - s))$

telles que pour tout $n \geq 0$ on ait

(i)
$$f_{(n)}|_{D_{n-1}} = f_{(n-1)}$$
, $\lambda_{(n)}|_{D_{n-1}} = \lambda_{(n-1)}$

(ii)
$$h_{(n)} = f_{(n)}\lambda_{(n)}$$
.

En effet, les suites $(f_{(n)})_n$ et $(\lambda_{(n)})_n$ du lemme sont, grâce à la propriété (i), respectivement des éléments de $\varprojlim_n H^0(\mathcal{O}_{\mathbb{P}^3_{D_n}}(s))$ et $\varprojlim_n H^0(\mathcal{O}_{\mathbb{P}^3_{D_n}}(\sigma-s))$. Par ailleurs, puisque $A\simeq \varprojlim_n D_n$, on a $\varprojlim_n H^0(\mathcal{O}_{\mathbb{P}^3_{D_n}}(j))\simeq H^0(\mathcal{O}_{\mathbb{P}^3_A}(j))$ pour tout entier j. Soit $f=\varprojlim_n f_{(n)}$ et $\lambda=\varprojlim_n \lambda_{(n)}$, alors la propriété (ii) implique $h=f\lambda$. On pose \mathfrak{S} (resp. Λ) la surface de \mathbb{P}^3_A définie par f (resp. λ), et le lemme est démontré.

(Preuve du lemme). On fait une récurrence sur n. Pour n=0, on a $\mathfrak{T}_0=S_0\cup\Lambda_0$. Notons $f_{(0)}$ (resp. $\lambda_{(0)}$) l'équation de S_0 (resp. Λ_0). Posons $f_{(0)}=f_0$ et $\lambda_{(0)}=\lambda_0$, on a alors $h_{(0)}=f_{(0)}\lambda_{(0)}$.

Supposons le lemme vrai jusqu'à l'ordre n. Il existe alors $f_{(n)} \in H^0(\mathcal{O}_{\mathbb{P}^3_{D_n}}(s))$ et $\lambda_{(n)} \in H^0(\mathcal{O}_{\mathbb{P}^3_{D_n}}(\sigma-s))$ tels que $h_{(n)} = f_{(n)}\lambda_{(n)}$. Soient f_1, \ldots, f_n (resp. $\lambda_1, \ldots, \lambda_n$) des éléments de $H^0(\mathcal{O}_{\mathbb{P}^3_{N}}(s))$ (resp. $H^0(\mathcal{O}_{\mathbb{P}^3_{N}}(\sigma-s))$) tels que :

$$f_{(n)} = f_0 + \varepsilon_n f_1 + \dots + \varepsilon_n^n f_n$$
, $\lambda_{(n)} = \lambda_0 + \varepsilon_n \lambda_1 + \dots + \varepsilon_n^n \lambda_n$.

Comme $h_{(n+1)}|_{D_n} = h_{(n)}$ alors il existe $G \in H^0(\mathcal{O}_{\mathbb{P}^3}(\sigma))$ tel que

$$h_{(n+1)} = (f_0 + \varepsilon_{n+1} f_1 + \dots + \varepsilon_{n+1}^n f_n) (\lambda_0 + \varepsilon_{n+1} \lambda_1 + \dots + \varepsilon_{n+1}^n \lambda_n) + \varepsilon_{n+1}^{n+1} G.$$

Il suffit de prouver que G est dans l'idéal (f_0, λ_0) . En effet, si $G = af_0 + b\lambda_0$ où $a \in H^0(\mathcal{O}_{\mathbb{P}^3_k}(\sigma - s))$ et $b \in H^0(\mathcal{O}_{\mathbb{P}^3_k}(s))$, alors

 $h_{(n+1)} = (f_0 + \varepsilon_{n+1} f_1 + \dots + \varepsilon_{n+1}^n f_n + \varepsilon_{n+1}^{n+1} b) \ (\lambda_0 + \varepsilon_{n+1} \lambda_1 + \dots + \varepsilon_{n+1}^n \lambda_n + \varepsilon_{n+1}^{n+1} a) \ .$ En posant $f_{(n+1)} = f_0 + \dots + \varepsilon_{n+1}^n f_n + \varepsilon_{n+1}^{n+1} b$ et $\lambda_{(n+1)} = \lambda_0 + \dots + \varepsilon_{n+1}^n \lambda_n + \varepsilon_{n+1}^{n+1} a$, le lemme est démontré pour le rang n+1, et donc pour tout $n \ge 0$.

Pour prouver que G est dans (f_0, λ_0) , nous allons procéder en plusieurs pas.

Soit T le sous-schéma de \mathbb{P}^3_k défini par l'idéal (f_0,λ_0) . Soit φ le morphisme défini dans (2.1). On note $\widetilde{T}=\varphi^{-1}T$ et $\widetilde{G}=\varphi^*G$, notons ici que $\widetilde{G}\in H^0(\mathcal{O}_{\widetilde{S}_0}(\sigma))$ et que $\mathcal{O}_{\widetilde{S}_0}(\widetilde{T})\simeq \mathcal{O}_{\widetilde{S}_0}(\sigma-s)$. Le but de ce qui suit est de montrer que $G\mid_{T}=0$, puique dans le 2ème pas ci-dessous on montrera que ceci suffit pour que G soit dans (f_0,λ_0) . L'idée consiste à montrer que $\widetilde{G}\mid_{\widetilde{T}}=0$ (cf. pas 4), ensuite, et c'est l'opération la plus difficile, passer de $\widetilde{G}\mid_{\widetilde{T}}=0$ à $G\mid_{T}=0$. Pour cela on verra qu'en fait $\widetilde{G}\mid_{\widetilde{T}}=0$ implique que G s'annule sur T sauf peut-être aux points-pinces, et en utilisant la preuve du 2ème pas, on montre que les points-pinces annulent G car sinon ce sont des points immergés de T', le cône affine sur T, mais ceci est exclu en vertu du premier pas, donc $G\mid_{T}=0$.

Pas 1. Soit T' le cône affine sur T, alors T' n'a pas de points immergés. En effet, puisque f_0 est irréductible et $\deg \lambda_0 = \sigma - s < s = \deg f_0$, les polynômes f_0 et λ_0 n'ont pas de composantes communes. Donc codim $T' = \operatorname{codim} T = 2$, ce qui implique que T' est l'intersection complète de $V(f_0)$ et $V(\lambda_0)$, et d'après ([Ar], Théorème 5.1), il est ainsi Cohen-Macaulay, et donc dépourvu de points immergés.

 $Pas\ 2.$ Si $G\mid_{T}=0$ alors $G\in (f_0,\lambda_0).$ En effet, $G\mid_{T}=0$ implique $G\mid_{T'}=0$ sauf peut être en O, l'origine de $\mathbb{A}^4_k.$ Si $G\neq 0$ dans $\mathcal{O}_{T',O}$, alors G est une section de $\mathcal{O}_{T'}$ supportée en O, et donc O est un point immergé de T', ce qui est exclu par le premier pas. Donc $G\mid_{T'}=0$, et comme $H^0(T',\mathcal{O}_{T'})=H^0(\mathbb{A}^4,\mathcal{O}_{\mathbb{A}^4})/_{(f_0,\lambda_0)},$ alors $G\in (f_0,\lambda_0).$

 $Pas\ 3.$ Montrons $\widetilde{G}\mid_{\widetilde{T}\cap\widetilde{C_0}}=0.$ Pour tout $m\leq n$, notons S_m (resp. Λ_m) la surface de $\mathbb{P}^3_{D_m}$ définie par $f_{(m)}$ (resp. $\lambda_{(m)}$). Par hypothèse de récurrence, on a $\mathfrak{T}_n=S_n\cup\Lambda_n$, et on montre comme dans la preuve de (2.11) que $C_n\subset S_n$. Donc $(f_0+\cdots+\varepsilon_{n+1}^nf_n)\mid_{C_n}=f_{(n)}\mid_{C_n}=0$; il existe alors $\beta\in H^0(\mathcal{O}_{C_0}(s))$ tel que $(f_0+\cdots+\varepsilon_{n+1}^nf_n)\mid_{C_{n+1}}=\varepsilon_{n+1}^{n+1}\beta$. Par ailleurs on a $h\mid_{C_{n+1}}=h_{(n+1)}\mid_{C_{n+1}}=0,$ car $\mathfrak{C}\subset\mathfrak{T},$ donc

$$\varepsilon_{n+1}^{n+1}[\beta(\lambda_0+\cdots+\varepsilon_{n+1}^n\lambda_n)+G]\mid_{C_{n+1}}=0,$$

i.e., $(\lambda_0 \beta + G) \mid_{C_0} = 0$. Ceci entraı̂ne $\widetilde{G} \mid_{\widetilde{C}_0} \in (\widetilde{\lambda}_0 \mid_{\widetilde{C}_0})$, or $\widetilde{T} \cap \widetilde{C}_0$ est le sous-schéma de \widetilde{C}_0 défini par $\widetilde{\lambda}_0 \mid_{\widetilde{C}_0}$, donc $\widetilde{G} \mid_{\widetilde{T} \cap \widetilde{C}_0} = 0$. Ceci sera essentiel dans le pas suivant.

Pas4. On montre $\widetilde{G}\mid_{\widetilde{T}}=0.$ Considérons la suite exacte

$$0 \to \mathcal{O}_{\widetilde{S}_0}(-\widetilde{C}_0)(\sigma) \to \mathcal{O}_{\widetilde{S}_0}(\sigma) \to \mathcal{O}_{\widetilde{C}_0}(\sigma) \to 0$$

que l'on tensorise par $\mathcal{O}_{\widetilde{T}}$, on obtient alors la suite exacte

$$0 \to \mathcal{H} \to \mathcal{O}_{\widetilde{T}}(-\widetilde{C}_0 \cap \widetilde{T})(\sigma) \to \mathcal{O}_{\widetilde{T}}(\sigma) \to \mathcal{O}_{\widetilde{T} \cap \widetilde{C}_0}(\sigma) \to 0$$

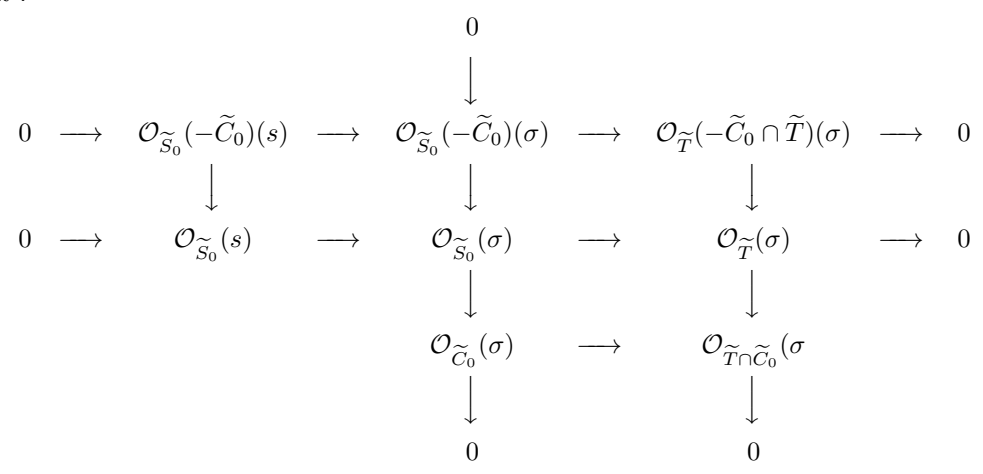
où $\mathcal{H} = \operatorname{Tor}_1^{\mathcal{O}_{\widetilde{S}_0}}(\mathcal{O}_{\widetilde{C}_0}, \mathcal{O}_{\widetilde{T}})$. Soit \mathcal{K} le noyau de $\mathcal{O}_{\widetilde{T}}(\sigma) \to \mathcal{O}_{\widetilde{T} \cap \widetilde{C}_0}(\sigma)$, on a alors la suite exacte

$$0 \to \mathcal{H} \to \mathcal{O}_{\widetilde{T}}(-\widetilde{C}_0 \cap \widetilde{T})(\sigma) \to \mathcal{K} \to 0$$

Comme \mathcal{H} est supporté par $\widetilde{T} \cap \widetilde{C}_0$ qui est un ensemble fini, alors $H^1(\mathcal{H}) = 0$, d'où la suite exacte

$$0 \to H^0(\mathcal{H}) \to H^0(\mathcal{O}_{\widetilde{T}}(-\widetilde{C}_0 \cap \widetilde{T})(\sigma)) \to H^0(\mathcal{K}) \to 0$$

Considérons maintenant, en rappelant $\mathcal{O}_{\widetilde{S}_0}(\widetilde{T})\simeq \mathcal{O}_{\widetilde{S}_0}(\sigma-s)$, le diagramme commutatif suivant :



D'après le pas 3, on a $\widetilde{G} \mid_{\widetilde{T} \cap \widetilde{C}_0} = 0$, alors $\widetilde{G} \in H^0(\mathcal{O}_{\widetilde{S}_0}(\sigma))$ s'envoie sur 0 dans $H^0(\mathcal{O}_{\widetilde{T} \cap \widetilde{C}_0}(\sigma))$, ainsi $\widetilde{G} \mid_{\widetilde{T}} \in H^0(\mathcal{K})$. Par ailleurs, on a $H^0(\mathcal{O}_{\widetilde{T}}(-\widetilde{C}_0 \cap \widetilde{T})(\sigma)) = 0$ car, par hypothèses, $h^0(\mathcal{O}_{\widetilde{S}_0}(-\widetilde{C}_0)(\sigma)) = h^1(\mathcal{O}_{\widetilde{S}_0}(-\widetilde{C}_0)(s)) = 0$, donc $H^0(\mathcal{K}) = 0$, et donc $\widetilde{G} \mid_{\widetilde{T}} = 0$.

Notons $\widetilde{\lambda}_0 = \varphi^*(\lambda_0)$, c'est une section de $\mathcal{O}_{\widetilde{S}_0}(\sigma - s)$ dont \widetilde{T} est le schéma des zéros. D'après le pas précédent, on a $\widetilde{G}\mid_{\widetilde{T}} = 0$, donc il existe une section $\widetilde{\alpha} \in H^0(\mathcal{O}_{\widetilde{S}_0}(s))$ telle que $\widetilde{G} = \widetilde{\lambda}_0 \widetilde{\alpha}$. Notons \mathcal{P} l'ensemble des points-pinces. Nous allons montrer à laide des pas qui suivent qu'il existe une section $\alpha' \in H^0(\mathcal{O}_{S_0'}(s))$ telle que $\widetilde{\alpha} = \varphi^* \alpha'$ sur \widetilde{S}_0' , où $S_0' = S_0 \setminus \mathcal{P}$ et $\widetilde{S}_0' = \varphi^{-1}(S_0')$.

Pas 5. On se place dans le voisinage étale (V_n, e_n) dans $\mathbb{P}^3_{D_n}$ des points de $C_0 \cap L_0$, défini dans (2.5). Puisqu'on est dans les hypothèses de la proposition (2.6), il existe des paramètres uniformisants u_n et v_n de V_n tels que $e_n^*f_{(n)}=u_nv_n$. (Pour éviter d'allourdir les notations, et tant que le contexte est clair, on omettra les e_n^*). Posons $F=f_0+\cdots+\varepsilon_{n+1}^nf_n$, et soient u et v des sections de $H^0(\mathcal{O}_{V_{n+1}}(s))$ telles que $u\mid_{V_n}=u_n$ et $v\mid_{V_n}=v_n$. Il existe $\beta\in H^0(\mathcal{O}_{V_{n+1}}(s))$ tel que $F=uv+\varepsilon_{n+1}^{n+1}\beta$.

Notons L_0^* l'image inverse de L_0 dans V_{n+1} par le morphisme e_{n+1} , alors $\beta \mid_{L_0^*}$ ne dépend pas des relèvements choisis u et v. En effet, soient u' et v' deux autre sections telles que $u' \mid_{V_n} = u_n$ et $v' \mid_{V_n} = v_n$, il existe alors a, b, β' dans $H^0(\mathcal{O}_{V_{n+1}}(s))$ tels que

$$u'=u+\varepsilon_{n+1}^{n+1}a\ ,\ v'=v+\varepsilon_{n+1}^{n+1}b\ ,\ F=u'v'+\varepsilon_{n+1}^{n+1}\beta'\ .$$

De l'égalité $u'v' + \varepsilon_{n+1}^{n+1}\beta' = uv + \varepsilon_{n+1}^{n+1}\beta$ on tire $\beta = \beta' + av + bu \pmod{\varepsilon_{n+1}}$, et donc $\beta \mid_{L_0^*} = \beta' \mid_{L_0^*}$ puisque L_0^* est défini dans V_{n+1} par l'idéal $(u, v, \varepsilon_{n+1})$. Ceci permet de voir que $\beta \mid_{L_0^*}$ descend en une section rationnelle de $\mathcal{O}_{L_0}(s)$, qu'on note β_{L_0} , qui est régulière sauf peut-être aux points-pinces.

Pas 6. On pose $\widetilde{\beta} = \varphi^*(\beta_{L_0})$, alors $\#(\text{p\^oles de }\widetilde{\beta}) \leq 2[s(s-1)^2 - \text{deg}\mathcal{O}_{L_0}(s)]$. En effet, par une variante du théorème de Bertini, pour une section générale f_{n+1} de $\mathcal{O}_{\mathbb{P}^3}(s)$, les zéros de $f_{n+1}|_{L_0} + \beta_{L_0}$ sont tous simples et ses pôles sont ceux de β_{L_0} . Par ailleurs, en tout point de L_0 où $f_{n+1}|_{L_0} + \beta_{L_0}$ s'annule, le schéma

$$\mathbf{Pol}(q:\widetilde{\mathbb{P}}^3_{D_{n+1}} \xrightarrow{proj.g\acute{e}n.} \mathbb{P}^1_{D_{n+1}}, F + \varepsilon^{n+1}_{n+1} f_{n+1})$$

a un point immergé (cf. preuve du sous-lemme (2.7.1)). Donc $\#\{\text{zéros de }(f_{n+1} \mid_{L_0} + \beta_{L_0})\} \leq s(s-1)^2$. Or $\#\{\text{pôles de }\widetilde{\beta}\} = 2\#\{\text{pôles de }\beta_{L_0}\}$, car $\deg\varphi = 2$. Donc $\#\{\text{pôles de }\widetilde{\beta}\} = 2\#\{\text{zéros de }(f_{n+1} \mid_{L_0} + \beta_{L_0})\} - 2\deg\mathcal{O}_{L_0}(s) \leq 2[s(s-1)^2 - \deg\mathcal{O}_{L_0}(s)]$.

Pas 7. On montre que pour tout $P \in \widetilde{C}_0 \cap \widetilde{L}_0$, on a $\widetilde{\alpha}(P) = -\widetilde{\beta}(P)$. Soit $P \in \widetilde{C}_0 \cap \widetilde{L}_0$, notons Q son image par φ . Comme dans le pas 5, on se place dans un voisinage étale de Q. On a $F = uv + \varepsilon_{n+1}^{n+1}\beta$, et $h_{n+1} = F\Lambda + \varepsilon_{n+1}^{n+1}G$, où $\Lambda = \lambda_0 + \dots + \varepsilon_{n+1}^n\lambda_n$.

Puisque $\varepsilon_{n+1}^{n+1}\mid_{C_n}=0$, $h_{n+1}\mid_{C_n}=0$ et $\Lambda\mid_{C_0}\neq 0$, on a $F\mid_{C_n}=0$, et donc $uv\mid_{C_n}=0$. On suppose, par exemple, que la courbe C_0 est contenu dans la nappe (u=0). Puisque C_0 est transverse à L_0 , $v\mid_{C_0}$ n'est pas diviseur de zéro, donc $v\mid_{C_n}$ ne l'est pas non plus. D'où $u\mid_{C_n}=0$. (Dans l'autre cas $v\mid_{C_n}=0$). Ainsi il existe $\gamma\in H^0(\mathcal{O}_{C_0}(s))$ tel que $u\mid_{C_{n+1}}=\varepsilon_{n+1}^{n+1}\gamma$. Par ailleurs,

puisque
$$h_{n+1}|_{C_{n+1}} = F|_{C_{n+1}} \Lambda|_{C_{n+1}} + \varepsilon_{n+1}^{n+1}(G|_{C_0}) = 0$$
, on a

$$[u\mid_{C_{n+1}} v\mid_{C_{n+1}} + \varepsilon_{n+1}^{n+1}(\beta\mid_{C_0})]\Lambda\mid_{C_{n+1}} + \varepsilon_{n+1}^{n+1}(G\mid_{C_0}) = 0.$$

Donc

$$\varepsilon_{n+1}^{n+1}[G\mid_{C_0} + \Lambda\mid_{C_0} (\gamma v\mid_{C_0} + \beta\mid_{C_0})] = 0.$$

Ce qui implique

$$G \mid_{C_0} + (\gamma \mid_{C_0} v_0 \mid_{C_0} + \beta \mid_{C_0}) \lambda_0 \mid_{C_0} = 0.$$

D'où l'égalité $\frac{G|_{C_0}}{\lambda_0|_{C_0}} = -(\gamma v_0 + \beta) \mid_{C_0}$, car $\lambda_0 \mid_{C_0} \neq 0$. Mais $\widetilde{\alpha} \mid_{\widetilde{C}_0} = \frac{\widetilde{G}|_{\widetilde{C}_0}}{\widetilde{\lambda}_0|_{\widetilde{C}_0}}$ et $\widetilde{v}_0(P) = 0$, donc $\widetilde{\alpha}(P) = -\widetilde{\beta}(P)$.

Pas 8. Notons $\mathcal P$ l'ensemble des points-pinces. Nous allons montrer qu'il existe une section $\alpha' \in H^0(\mathcal O_{S_0'}(s))$ telle que $\widetilde{\alpha} = \varphi^*\alpha'$ sur \widetilde{S}_0' , où $S_0' = S_0 \setminus \mathcal P$ et $\widetilde{S}_0' = \varphi^{-1}(S_0')$.

Comme $\widetilde{\alpha}\mid_{\widetilde{L}_0}$ est une section (régulière) de $\mathcal{O}_{\widetilde{L}_0}(s)$ (qui est un fibré de degré $2\mathrm{deg}\mathcal{O}_{L_0}(s)$) et $\widetilde{\beta}+\widetilde{\alpha}\mid_{\widetilde{L}_0}$ est une section rationnelle de $\mathcal{O}_{\widetilde{L}_0}(s)$ dont les pôles sont ceux de $\widetilde{\beta}$, alors d'après le pas 6, on a $\#\{$ zéros de $(\widetilde{\beta}+\widetilde{\alpha}\mid_{\widetilde{L}_0})\} \leq 2s(s-1)^2$. Or par hypothèse $\#(\widetilde{C}_0\cap\widetilde{L}_0)=\#(C_0\cap L_0)>2s(s-1)^2$, donc d'après le pas 7, $\widetilde{\beta}+\widetilde{\alpha}\mid_{\widetilde{L}_0}=0$. Ainsi $\widetilde{\beta}$ est régulière (en particulier β_{L_0} est défini sur L_0) et $\widetilde{\alpha}\mid_{\widetilde{L}_0}=-\varphi^*\beta_{L_0}$ en dehors des points de ramification. Nous allons voir que $\widetilde{\alpha}\mid_{\widetilde{L}_0}$ descend en une section sur S_0' .

Voyons d'abord ceci géométriquement; \widetilde{S}'_0 (qui est la normalisée de S'_0) est localement la réunion de deux nappes, et en recollant ces nappes (on recolle en fait les paires de l'involution induite sur $\widetilde{L}'_0 = \widetilde{L}_0 \setminus \varphi^{-1}\mathcal{P}$), on obtient la surface S'_0 . Pour avoir une section sur S'_0 , il faut avoir une section sur \widetilde{S}'_0 qui a la même valeur sur les deux nappes. Or en dehors des points de ramification on a $\widetilde{\alpha} \mid_{\widetilde{L}_0} = -\varphi^*\beta_{L_0}$, donc $\widetilde{\alpha} \mid_{\widetilde{L}_0}$ est fixée par l'involution induite sur \widetilde{L}_0 . Donc $\widetilde{\alpha} \mid_{\widetilde{L}_0}$ descend en une section sur L'_0 , et ceci implique que $\widetilde{\alpha}$ descend en une section α' sur S'_0 .

Une autre façon de voir cela consiste à considérer le diagramme commutatif (de normalisation) suivant : $0 \longrightarrow \mathcal{O}_{S'}(s) \longrightarrow (\mathfrak{S}, \mathcal{O}_{\sim}(s)) \longrightarrow \mathcal{F} \longrightarrow 0$

$$0 \longrightarrow \mathcal{O}_{S_0'}(s) \longrightarrow \varphi_* \mathcal{O}_{\widetilde{S}_0'}(s) \longrightarrow \mathcal{F} \longrightarrow 0$$

$$\downarrow \qquad \qquad \downarrow \qquad \qquad \parallel$$

$$0 \longrightarrow \mathcal{O}_{L_0'}(s) \longrightarrow \varphi_* \mathcal{O}_{\widetilde{L}_0'}(s) \longrightarrow \mathcal{F} \longrightarrow 0$$

où \mathcal{F} est un faisceau de rang 1 localement libre sur L'_0 . On obtient le diagramme commutatif suivant : $0 \longrightarrow H^0(\mathcal{O}_{S'_0}(s)) \xrightarrow{\varphi^*} H^0(\mathcal{O}_{\widetilde{S'}}(s)) \xrightarrow{a} H^0(\mathcal{F}) \longrightarrow 0$

$$0 \longrightarrow H^0(\mathcal{O}_{S_0'}(s)) \stackrel{\varphi^*}{\longrightarrow} H^0(\mathcal{O}_{\widetilde{S}_0'}(s)) \stackrel{a}{\longrightarrow} H^0(\mathcal{F}) \longrightarrow 0$$

$$\downarrow \qquad \qquad \downarrow \qquad \qquad \parallel$$

$$0 \longrightarrow H^0(\mathcal{O}_{L_0'}(s)) \stackrel{\varphi^*}{\longrightarrow} H^0(\mathcal{O}_{\widetilde{L}_0'}(s)) \stackrel{b}{\longrightarrow} H^0(\mathcal{F}) \longrightarrow 0$$

On obtient α' en observant $0=b\circ \varphi^*(\beta_{L_0})=b(\widetilde{\alpha}\mid_{\widetilde{L}_0'})=a(\widetilde{\alpha})$

Conclusion. On a $G \mid_{S'_0} = \alpha' \lambda_0 \mid_{S'_0}$, donc $G \mid_{T^*} = 0$ où $T^* = T \setminus \mathcal{P}$. Or T est une intersection complète de dimension 1, donc T n'a pas de points immergés, et un argument analogue à celui du pas 2 on déduit $G \mid_{T} = 0$, ce qu'on cherchait. \square

§3- Application au schéma de Hilbert $H_{d,q}$.

Dans cette section, le résutat principal que nous allons prouver est le

Théorème 3.1. Soient d et g deux entiers satisfaisant :

(A)
$$G(d,8) < g \le \frac{73}{2}(d-74)$$
 si $146 \ge d \ge 95$

(B)
$$G(d,8) < g \le \frac{(d-1)^2}{8}$$
 si $d \ge 147$

Alors il existe une composante irréductible non réduite du schéma de Hilbert $H_{d,g}$ dont l'élément général est une courbe tracée sur une surface quartique à droite double.

Notations et généralités 3.2.

3.2.1. On note H(4) l'espace projectif $\mathbb{P}H^0(\mathcal{O}_{\mathbb{P}^3}(4))$ des surfaces quartiques dans \mathbb{P}^3 . Soit $D(d,g;4) \subset H_{d,g} \times H(4)$ le schéma de Hilbert des drapeaux courbes-surfaces. Pour toute droite L de \mathbb{P}^3 on pose $\mathcal{Q}_L = \mathbb{P}H^0(\mathcal{J}^2_{L/\mathbb{P}^3}(4))$; ensemblistement \mathcal{Q}_L est l'espace des quartiques contenant L comme droite double.

Soit $q: D(1,0,4) \to H_{1,0}$ la projection naturelle, associant à chaque paire (L,S) la droite L. La fibre de q au-dessus de chaque $L \in H_{1,0}$ étant égale à $\mathbb{P}H^0(\mathcal{J}_{L/\mathbb{P}^3}(4))$, on peut identifier D(1,0,4) à $\mathbb{P}(p_*\mathcal{J}_{\mathbf{I}}(4))$ où $\mathbf{I} \subset \mathbb{P}^3 \times H_{1,0}$ est la variété d'incidence et p est la projection $\mathbb{P}^3 \times H_{1,0} \to H_{1,0}$. Posons $\mathcal{Q}' := \mathbb{P}(p_*\mathcal{J}_{\mathbf{I}}^2(4))$. Ensemblistement, \mathcal{Q}' est l'espace des paires (L,S) où L est une droite et S est une surface quartique de \mathbb{P}^3 , contenant L comme droite double. Soit \mathcal{Q} l'ouvert de \mathcal{Q}' formé par les couples (L,S) tels que S est une surface intègre, i.e., irréductible et réduite.

3.2.2. Soit $W_{d,g}$ le sous-schéma de $H_{1,0} \times D(d,g,4)$ image réciproque de \mathcal{Q} par le morphisme de projection $H_{1,0} \times D(d,g,4) \to H_{1,0} \times H(4)$. Ensemblistement, $W_{d,g}$ est formé des triplets (L,C,S) où C est une courbe lisse et connexe de degré d et genre g tracée sur une surface quartique intègre contenant L comme droite double. On pose $\rho: W_{d,g} \to H_{d,g}$ la projection induite sur $W_{d,g}$. On note \mathcal{V} l'image schématique de $W_{d,g}$ par ρ , c'est la fermeture schématique de l'ensemble des courbes lisses et connexes de degré d et de genre g dans \mathbb{P}^3 , tracées sur des surfaces quartiques intègres à droite double.

Afin de donner un sens à la définition de $W_{d,g}$, on suppose dans toute cette section que $0 \le g \le (d-1)^2/8$, car ceci assure d'après le théorème de Gruson-Peskine ([GP2], théorème 1.1) que $W_{d,g}$ est non vide et domine Q.

3.2.3. Dans toute cette section on désignera par S_0 une surface quartique intègre dans \mathbb{P}^3 , ayant une droite double L_0 . Soit $\pi: \widetilde{\mathbb{P}}^3 \to \mathbb{P}^3$ l'éclatement de \mathbb{P}^3 le long de L_0 . Soit \widetilde{S}_0 la transformée stricte de S_0 par π . Notons φ la restriction $\pi|_{\widetilde{S}_0}$. On choisit (L_0, S_0) suffisemment générale dans \mathcal{Q} , dans ce cas la surface \widetilde{S}_0 (qui est aussi la normalisée de S_0) est lisse (cf. [Az], I-1.3). Ainsi en appliquant ([S], 1.1), \widetilde{S}_0 est isomorphe à l'éclatement de \mathbb{P}^2 en 9 points situés sur une cubique lisse. On a alors Pic $\widetilde{S}_0 \simeq \mathbb{Z}^{10}$, et on peut prendre comme base orthogonale, la famille $\{\Delta, -E_1, \ldots, -E_9\}$ où Δ est l'image inverse d'une droite générale de \mathbb{P}^2 et où les E_i sont les classes des droites

exceptionnelles. Une telle base est dite exceptionnelle. Le morphisme $\varphi \colon \widetilde{S} \to \mathbb{P}^3$ est donné par le système linéaire $H = \mid (4,2,1^8) \mid$, la classe $K_{\widetilde{S}_0}$ du fibré canonique de \widetilde{S}_0 égale à $(-3,-1^9)$, et la classe de $\widetilde{L}_0 = \varphi^{-1}L_0$ est égale à $-K_{\widetilde{S}_0}$. Le morphisme φ induit un morphisme $\widetilde{L}_0 \longrightarrow L_0$ de degré 2 ramifié en 4 points que l'on notera R_1, \ldots, R_4 . (Pour les détails sur cette construction, on renvoit à [GP2]). Signalons enfin que les hyothèses faites sur S_0 impliquent, en vertu de ([R], 4.1), que c'est une surface à singularités ordinaires.

Dans le théorème suivant nous donnons des conditions suffisantes pour qu'une composante irréductible de $H_{d,g}$, contenant une courbe C_0 de degré d et genre g tracée sur S_0 , soit non réduite. **Théorème 3.3.** Soit S_0 une surface quartique à droite double L_0 comme dans (3.2.3). Soit $C_0 \subset S_0$ une courbe lisse et connexe de degré d et genre g distincte de L_0 , on note \widetilde{C}_0 sa transformée stricte dans \widetilde{S}_0 . Soit V une composante irréductible $H_{d,g}$ contenant C_0 . On suppose qu'il existe une composante irréductible W de $W_{d,g}$ qui domine V. Si $h^0(\mathcal{O}_{\widetilde{S}_0}(4H-\widetilde{C}_0-\widetilde{L}_0))=0$ et $h^1(\mathcal{N}_{\widetilde{C}_0/\widetilde{S}_0})=0$, alors V est génériquement non réduite.

L'idée de la preuve consiste à montrer l'inégalité dim $T_CH_{d,g} > \dim V$ où C est l'élément générique de V. Par semi-continuité, il suffit de montrer cette inégalité en C_0 , et comme dim $V \leq \dim \mathcal{W} \leq \dim T_{(L_0,C_0,S_0)}\mathcal{W}$, il suffit alors de voir, en notant t la dimension de T, que $t_{(L_0,C_0,S_0)}\mathcal{W} < t_{C_0}(H_{d,g})$. Pour ce faire nous aurons besoin des résultats intermédiaires suivants :

Proposition 3.4. En utilisant les notations et les hypothèses de (3.2.3), on considère le faisceau de $\mathcal{O}_{\widetilde{S}_0}$ -modules \mathcal{M} conoyau du morphisme tangent $T_{\varphi}: \mathcal{T}_{\widetilde{S}_0} \to \varphi^* \mathcal{T}_{\mathbb{P}^3}$. Soient $\mathcal{N} = \mathcal{M}^{\vee\vee}$ le double dual de \mathcal{M} et $\delta: \mathcal{M} \to \mathcal{N}$ le morphisme canonique, alors :

- 1) \mathcal{M} est sans torsion, donc en particulier δ est injectif.
- 2) Le conoyau de δ est isomorphe à $\bigoplus_{i=1}^4 k(R_i)$, où $k(R_i)$ désigne le faisceau gratte-ciel au-dessus de R_i .
 - 3) ll existe un isomorphisme $\mathcal{N} \simeq \mathcal{N}_{\widetilde{S}_0/\widetilde{\mathbb{P}}}(\widetilde{L}_0)$, où $\mathcal{N}_{\widetilde{S}_0/\widetilde{\mathbb{P}}}$ est le fibré normal de \widetilde{S}_0 dans $\widetilde{\mathbb{P}}$.

Démonstration. 1) Le noyau de T_{φ} ayant pour support un sous-ensemble de $\{R_1, \ldots, R_4\}$ (cf. [H3], 3.1) est donc de torsion, mais comme c'est un sous-faisceau d'un fibré vectoriel, il est alors nul. Ainsi, \mathcal{M} est un faisceau cohérent, localement libre en dehors de $\{R_1, \ldots, R_4\}$ (qui est un fermé de \widetilde{S}_0 de codimension supérieure à 2), donc \mathcal{M} est sans torsion.

2) Le faisceau \mathcal{N} étant réflexif (cf. [H4], 1.2) de rang égal à 1 (celui de \mathcal{M}) est donc inversible (cf. [H4], 1.9). Soit $\eta: \mathcal{N} \to \mathcal{O}_{\widetilde{S}_0}$ un isomorphisme, et considérons la surjection canonique $\psi: \varphi^* \mathcal{T}_{\mathbb{P}^3} \to \mathcal{M}$. Notons $v: \mathcal{O}_{\widetilde{S}_0} \to \bigoplus_{i=1}^4 k(R_i)$ la somme directe des morphismes d'évaluation. Alors il suffit de montrer que la suite

$$(3.4.1) 0 \to \mathcal{T}_{\widetilde{S}_0} \xrightarrow{T_{\varphi}} \varphi^* \mathcal{T}_{\mathbb{P}^3} \xrightarrow{\theta} \mathcal{N} \xrightarrow{\tau} \oplus_{i=1}^4 k(R_i) \to 0$$

est exacte, avec $\tau = \upsilon \circ \eta$ et $\theta = \delta \circ \psi$.

Plaçons-nous d'abord au voisinage d'un point de \widetilde{S}_0 qui n'est pas de ramification, alors $\tau = 0$ et δ est un isomorphisme; l'exactitude de la suite (3.4.1) est déduite de celle de la suite

$$0 \to \mathcal{T}_{\widetilde{S}_0} \xrightarrow{T_{\varphi}} \varphi^* \mathcal{T}_{\mathbb{P}^3} \xrightarrow{\psi} \mathcal{M} \to 0.$$

Plaçons-nous maintenant autour d'un point $R \in \{R_1, \ldots, R_4\}$. Puisque S_0 est à singularités ordinaires, on sait qu'il existe des coordonnées locales (s,t) de \widetilde{S}_0 au voisinage de R telles que $\varphi(s,t)=(s,st,t^2)$; ainsi la suite (3.4.1) s'écrit localement :

$$(3.4.2) 0 \to k[s,t]^2 \xrightarrow{t_M} k[s,t]^3 \xrightarrow{Y} k[s,t] \xrightarrow{r} k \to 0$$

où $M = \begin{bmatrix} 1 & t & 0 \\ 0 & s & 2t \end{bmatrix}$, $Y = \begin{bmatrix} 2t^2, -2t, s \end{bmatrix}$ et où r est la réduction modulo l'idéal (s, t) (pour trouver Y, on vérifie que c'est l'unique matrice, à une multiplication près par une fonction, telle $Y^t M = 0$.). On laisse au lecteur le soin de s'assurer que la suite (3.4.2) est bien exacte.

3) Soit \mathcal{E} le conoyau du morphisme tangent $T_{\pi} : \mathcal{T}_{\widetilde{\mathbb{P}}} \hookrightarrow \pi^* \mathcal{T}_{\mathbb{P}^3}$, c'est un faisceau supporté sur la surface quadrique $E = \pi^{-1}L_0$; on montre en fait que $\mathcal{E} \simeq \mathcal{O}_E(2H - E)$ (cf. [Az], II-3.2). Soient T_{μ} le morphisme tangent à l'immersion fermée $\mu : \widetilde{S}_0 \hookrightarrow \widetilde{\mathbb{P}}$ et α la restriction $T_{\pi}|_{\widetilde{S}_0}$; alors il est facile de voir qu'il existe un morphisme $\xi : \mathcal{N}_{\widetilde{S}_0/\widetilde{\mathbb{P}}} \to \mathcal{M}$ tel que le diagramme suivant soit commutatif

où β et γ sont les projections naturelles. Soit $\zeta: \mathcal{N}_{\widetilde{S}_0/\widetilde{\mathbb{P}}} \to \mathcal{N}$ le compositum $\delta \circ \xi$, et considérons la projection $\lambda: \mathcal{N} \to \mathcal{N} \mid_{\widetilde{L}_0}$; comme $Ker(\lambda) \simeq \mathcal{N}(-\widetilde{L}_0)$, alors pour prouver (3), il suffit de montrer que la suite suivante est exacte

$$(3.4.4) 0 \to \mathcal{N}_{\widetilde{S}_0/\widetilde{\mathbb{P}}} \xrightarrow{\zeta} \mathcal{N} \xrightarrow{\lambda} \mathcal{N} \mid_{\widetilde{L}_0} \to 0 .$$

Pour ce faire, on procède localement comme dans (2). C'est clair au voisinage d'un point de $\widetilde{S}_0 \setminus \widetilde{L}_0$ (car dans ce cas on a $\mathcal{N}_{\widetilde{S}_0/\widetilde{\mathbb{P}}} \simeq \mathcal{M} \simeq \mathcal{N}$ et $\mathcal{N} \simeq \mathcal{N}(-\widetilde{L}_0)$).

Si l'on se place autour d'un point de ramification, alors en utilisant les notations de (2), on voit que $t\begin{bmatrix} 1 & 0 & 0 \\ 0 & 0 & 2t \end{bmatrix}$, [0, -2t, 1] et $\begin{bmatrix} 1 & 0 & 0 \\ 0 & 0 & 1 \end{bmatrix}$ sont, respectivement, les matrices des morphismes T_{μ} , γ et α définis

dans le diagramme (3.4.3). La commutativité de ce dernier implique $\zeta \gamma = \delta \xi = \psi \alpha$; puis que la matrice de $\psi \alpha$ est égale à [0, -2st, s], alors ζ a pour matrice [s]. Il reste à observer que $\mathcal{N}\mid_{\widetilde{L}_0}$ est isomorphe à k[t] et que λ est la réduction modulo (s).

Plaçons-nous maintenant en un point R de \widetilde{L}_0 qui n'est pas de ramification, alors il existe des coordonnées locales (x,y,z) au voisinage de $\pi(R)$ telles que la surface S_0 ait pour équation locale xy=0. L'éclatement π étant défini par $(x,w,z)\mapsto (x,y=xw,z)$, on vérifie que les morphismes

 T_{μ} , γ et α ont respectivement pour matrices $t\begin{bmatrix} 1 & 0 & 0 \\ 0 & 0 & 1 \end{bmatrix}$, [0, 1, 0] et $\begin{bmatrix} 1 & 0 & 0 \\ 0 & 0 & 1 \end{bmatrix}$. Pour la même raison que ci-dessus, on voit que le morphisme ζ a pour matrice [x]; ainsi la suite (3.4.4)) localisée en R est exacte, car $\mathcal{N}|_{\widetilde{L}_0}$ est isomorphe à k[z], et λ étant la réduction modulo x. \square

Corollaire 3.5. On garde les notations de (3.4). Alors :

1) M s'insère dans les suites exactes

$$(3.5.1) 0 \to \mathcal{M} \to \mathcal{O}_{\widetilde{S}_0}(4H - \widetilde{L}_0) \to \bigoplus_{i=1}^4 k(R_i) \to 0$$

$$(3.5.2) 0 \to \mathcal{N}_{\widetilde{S}_0/\widetilde{\mathbb{P}}} \to \mathcal{M} \to \mathcal{O}_{\widetilde{L}_0}(2H - \widetilde{L}_0) \to 0$$

2) $h^1(\mathcal{M}) = 0$, donc en particulier $h^0(\mathcal{M}) = 25$.

Démonstration.

- (1) Sachant que $\mathcal{N}_{\widetilde{S}_0/\widetilde{\mathbb{P}}} \simeq \mathcal{O}_{\widetilde{S}_0}(4H-2\widetilde{L}_0)$, alors la suite (3.5.1) est obtenue en combinant les conclusions (1) à (3) de la proposition (3.4). La suite (3.5.2) est déduite directement du digramme (3.4.3).
- (2) La suite de cohomologie associée à (3.5.2) donne en particulier la suite exacte $0 \to H^0(\mathcal{N}_{\widetilde{S}_0/\widetilde{\mathbb{P}}}) \to H^0(\mathcal{M}) \to H^0(\mathcal{O}_{\widetilde{L}_0}(2H-\widetilde{L}_0)) \to \operatorname{cohr} 1\mathcal{N}_{\widetilde{S}_0/\widetilde{\mathbb{P}}} \to H^1(\mathcal{M}) \to H^1(\mathcal{O}_{\widetilde{L}_0}(2H-\widetilde{L}_0)).$

Or $H^1(\mathcal{O}_{\widetilde{L}_0}(4H-\widetilde{L}_0))=0$ (car $4H-\widetilde{L}_0$ est un diviseur de degré 8 sur une courbe elliptique), et $h^1(\mathcal{O}_{\widetilde{S}_0}(4H-2\widetilde{L}_0))=h^1(\mathcal{N}_{\widetilde{S}_0/\widetilde{\mathbb{P}}})=0$ ([W], 2.2), on en déduit donc $h^1(\mathcal{M})=0$. Avec ceci, et en utilisant la suite de cohomologie associée à (3.5.1), on obtient $h^0(\mathcal{M})=h^0(\mathcal{O}_{\widetilde{S}_0}(4H-\widetilde{L}_0))-4$. Comme $h^2(\mathcal{O}_{\widetilde{S}_0}(4H-\widetilde{L}_0))=h^0(\mathcal{O}_{\widetilde{S}_0}(-4H))$ (par la dualité de Serre), et $h^0(\mathcal{O}_{\widetilde{S}_0}(-4H))=0$ (car $-4H.\Delta=-16<0$), alors, en utilisant le théorème de Riemann-Roch, on a $h^0(\mathcal{O}_{\widetilde{S}_0}(4H-\widetilde{L}_0))=\frac{1}{2}(4H-\widetilde{L}_0)(4H)+1=8H^2-2\widetilde{L}_0.H+1=29$. On a donc $h^0(\mathcal{M})=25$.

Proposition 3.6. Soient S_0 , L_0 , \widetilde{S}_0 , \widetilde{L}_0 , H, R_1, \ldots, R_4 comme dans (3.2.3), et \mathcal{M} le faisceau sur \widetilde{S}_0 , défini dans (3.4). Soit $C \subset S_0$ une courbe lisse et connexe, de degré d et genre g, distincte de la droite L_0 ; on note \widetilde{C} sa transformée stricte.

(i) On a la suite exacte suivante :

$$0 \to H^0(\mathcal{M}(-\widetilde{C})) \to H^0(\mathcal{M}) \to H^0(\mathcal{M}|_{\widetilde{C}}) \to H^1(\mathcal{M}(-ct)) \to 0$$

- (ii) Si $h^0(\mathcal{O}_{\widetilde{S}_0}(4H-\widetilde{C}-\widetilde{L}_0))=0$, alors (a) $h^0(\mathcal{M}(-\widetilde{C}))=0$, et (b) il existe une injection $h^0(\oplus_{i=1}^4 k(R_i))\hookrightarrow H^1(\mathcal{M}(-\widetilde{C}))$.
 - (iii) Si $h^1(\mathcal{N}_{\widetilde{C}/\widetilde{S}_0}) = 0$, alors on a la suite exacte:

$$0 \to H^0(\mathcal{N}_{\widetilde{C}/\widetilde{S}_0}) \to H^0(\mathcal{N}_{C/\mathbf{P}^3}) \to H^0(\mathcal{M}|_{\widetilde{C}}) \to 0.$$

 $D\'{e}monstration.$

(i) La suite exacte $0 \to \mathcal{O}_{\widetilde{S}_0}(-\widetilde{C}) \to \mathcal{O}_{\widetilde{S}_0} \to \mathcal{O}_{\widetilde{C}} \to 0$ tensorisée par le faisceau (sans torsion) \mathcal{M} donne la suite exacte $0 \to \mathcal{M}(-\widetilde{C}) \to \mathcal{M} \to \mathcal{M}|_{\widetilde{C}} \to 0$

d'où l'on déduit la suite cherchée dans (i) sachant que $H^1(\mathcal{M}) = 0$ (cf. 3.5-(2)).

(ii) On suppose $h^0(\mathcal{O}_{\widetilde{S}_0}(4H-\widetilde{C}-\widetilde{L}_0))=0$. La suite (3.5.1) tensorisée par $\mathcal{O}_{\widetilde{S}_0}(-\widetilde{C})$ donne la suite exacte

$$0 \to H^0(\mathcal{M}(-\widetilde{C})) \to H^0(\mathcal{O}_{\widetilde{S}_0}(4H - \widetilde{C} - \widetilde{L}_0)) \to H^0(\oplus_{i=1}^4 k(R_i)) \to H^1(\mathcal{M}(-\widetilde{C}))$$

d'où les assertions (a) et (b).

(iii) On a $C \simeq \widetilde{C}$, car $C \neq L$, donc $\mathcal{N}_{C/\mathbf{P}^3} \simeq \mathcal{M}_{\widetilde{C}}$ où $\mathcal{M}_{\widetilde{C}} = (\varphi^* \mathcal{T}_{\mathbb{P}^3}|_{\widetilde{C}})/\mathcal{T}_{\widetilde{C}}$. Par ailleurs on a $\mathcal{N}_{\widetilde{C}/\widetilde{S}_0} = (\mathcal{T}_{\widetilde{S}_0}|_{\widetilde{C}})/\mathcal{T}_{\widetilde{C}}$ et $\mathcal{M}|_{\widetilde{C}} = (\varphi^* \mathcal{T}_{\mathbb{P}^3}|_{\widetilde{C}})/\mathcal{T}_{\widetilde{S}_0}|_{\widetilde{C}}$. Ainsi on a la suite exacte $0 \to \mathcal{N}_{\widetilde{C}/\widetilde{S}_0} \to \mathcal{M}_{\widetilde{C}} \to \mathcal{M}|_{\widetilde{C}} \to 0$

L'hypothèse $h^1(\mathcal{N}_{\widetilde{C}/\widetilde{S}_0})=0$ donne alors la suite voulue. \square

Preuve du théorème 3.3

Soit $C_0 \subset S_0$ une courbe lisse et connexe vérifiant les hypothèses de (3.3). Il s'agit de montrer l'inégalité $t_{(L_0,C_0,S_0)}W < t_{C_0}(H_{d,g})$. On considère le morphisme canonique $f: W \to \mathcal{Q}$ qui au triplet (L,C,S) associe la paire (L,S). Soit F la fibre de f en (L_0,S_0) , on a la suite exacte des espaces tangents : $0 \to T_{(L_0,C_0,S_0)}F \to T_{(L_0,C_0,S_0)}W \to T_{(L_0,S_0)}\mathcal{Q}$

La fibre F n'est autre que le schéma de Hilbert $H_{d,g}(S_0)$ des courbes de $H_{d,g}$ tracées sur S_0 , donc $T_{(L_0,C_0,S_0)}F = H^0(\mathcal{N}_{C_0/S_0})$, et puisque $\dim_{C_0} H_{d,g}(S_0) \leq \dim_{\widetilde{C}_0} H_{d,g}(\widetilde{S}_0)$ (cf. [K1], lemme 22), on a l'inégalité $t_{(L_0,C_0,S_0)}\mathcal{W} \leq t_{(L_0,S_0)}\mathcal{Q} + h^0(\widetilde{C}_0,\mathcal{N}_{\widetilde{C}_0/\widetilde{S}_0}).$

Soit \mathcal{M} le faisceau sur \widetilde{S}_0 introduit dans (3.4). D'après (3.5-(2)) on a $h^0(\mathcal{M}) = 25$, et d'après le lemme (3.7) ci-dessous on a $t_{(L_0,S_0)}\mathcal{Q} = 25$, donc l'inégalité précédente devient

$$t_{(L_0,C_0,S_0)}\mathcal{W} \leq h^0(\mathcal{M}) + h^0(\mathcal{N}_{\widetilde{C}_0/\widetilde{S}_0}).$$

Or, on a, d'une part $h^0(\mathcal{N}_{\widetilde{C}_0/\widetilde{S}_0}) = h^0(\mathcal{N}_{C_0/\mathbb{P}^3}) - h^0(\mathcal{M}|_{\widetilde{C}_0})$ (cf. 3.6-(iii)), et d'autre part $h^0(\mathcal{M}) = h^0(\mathcal{M}|_{\widetilde{C}_0}) - h^1(\mathcal{M}(-\widetilde{C}_0))$ (cf. 3.6-(i),(ii)). Donc on obtient, sachant que $t_{C_0}(H_{d,g}) = h^0(\mathcal{N}_{C_0/\mathbb{P}^3})$, l'inégalité $t_{(L_0,C_0,S_0)}\mathcal{W} \leq t_{C_0}(H_{d,g}) - h^1(\mathcal{M}(-\widetilde{C}_0))$

Comme $h^1(\mathcal{M}(-\widetilde{C}_0)) \geq 4$ (cf. 3.6-(ii)), on a $t_{(L_0,C_0,S_0)}\mathcal{W} < t_{C_0}(H_{d,q})$, d'où le théorème.

Lemme 3.7. Avec les notations de (3.2.1) et (3.2.2), pour tout $(L, S) \in \mathcal{Q}$, on a dim $T_{(L,S)}\mathcal{Q} = 25$.

Démonstration. Considérons la suite exacte des espaces tangents

$$0 \to T_S(\mathcal{Q}_L) \to T_{(L,S)}\mathcal{Q} \to T_L(H_{1,0}) \to 0$$

induite par la projection $\mathcal{Q} \times H_{1,0} \to H_{1,0}$. On a alors $t_{(L,S)}\mathcal{Q} = 4 + t_S(\mathcal{Q}_L)$, car $H_{1,0}$ (la grassmannienne des droites de \mathbb{P}^3) est lisse de dimension 4. Comme, par définition, $\mathcal{Q}_L = \mathbb{P}H^0(\mathcal{J}^2_{L/\mathbb{P}^3}(4))$, il suffit donc de prouver que $h^0(\mathcal{J}^2_{L/\mathbb{P}^3}(4)) = 22$. Pour cela on calcule $h^0(\mathcal{J}_{L^2/\mathbb{P}^3}(4))$ où L^2 est le premier voisinage infinitésimal de L. Comme L^2 est lié à L par une intersection complète de type (1,2), il est arithmétiquement Cohen-Macaulay. Considérons alors la suite exacte

$$0 \longrightarrow H^0(\mathcal{J}_{L^2/\mathbb{P}^3}(4)) \longrightarrow H^0(\mathcal{J}_{L/\mathbb{P}^3}(4)) \longrightarrow H^0(\mathcal{N}_{L/\mathbb{P}^3}^{\vee}(4)) \to 0$$

d'où l'on tire $h^0(\mathcal{J}^2_{L/\mathbb{P}^3}(4)) = h^0(\mathcal{J}_{L^2/\mathbb{P}^3}(4)) = h^0(\mathcal{J}_{L/\mathbb{P}^3}(4)) - h^0(\mathcal{N}^{\vee}_{L/\mathbb{P}^3}(4))$. On conclut sachant que $h^0(\mathcal{J}_{L/\mathbb{P}^3}(4)) = 30$ et que $h^0(\mathcal{N}^{\vee}_{L/\mathbb{P}^3}(4)) = h^0(\mathcal{O}_L(3) \oplus \mathcal{O}_L(3)) = 8$. \square

Remarques 3.8. Il y a une autre manière de prouver le théorème (3.3) (cf. [Az], II-6) : on adapte à notre situation les méthodes de ([K2], I-1.3) utilisant la cohomologie d'André et la théorie développée dans ([L]), pour calculer $T_{(L_0,C_0,S_0)}\mathcal{W}$. On montre

$$T_{(L_0,C_0,S_0)}\mathcal{W} = T_{C_0}H_{d,g} \underset{H^0(\widetilde{C}_0,\mathcal{M}|_{ct_0})}{\times} H^0(\widetilde{S}_0,\mathcal{M}).$$

Ensuite on considère la projection $T_{(L_0,C_0,S_0)}W \to T_{C_0}H_{d,g}$, on montre que son noyau (resp. conoyau) est égal à $H^0(\mathcal{M}(-\widetilde{C}_0))$ (resp. $H^1(\mathcal{M}(-\widetilde{C}_0))$). Sachant que $h^0(\mathcal{M}(-\widetilde{C}_0)) = 0$ et $h^1(\mathcal{M}(-\widetilde{C}_0)) \ge 1$, on déduit $t_{(L_0,C_0,S_0)}W < t_{C_0}(H_{d,g})$ comme voulu.

Dans ce qui suit, nous allons donner des conditions suffisantes afin qu'une composante irréductible de $H_{d,g}$, contenant une courbe tracée sur une quartique à droite, soit dominée par une composate irréductible de $W_{d,g}$.

Proposition 3.9. Soit $S_0 \subset \mathbb{P}^3$ une surface quartique à droite double L_0 comme dans (3.2.3). Soit $C_0 \subset S_0$ une courbe lisse et connexe, de degré d et genre g, qui coupe la doite L_0 en r points distincts des points-pinces et ce transversalement. On note \widetilde{C}_0 la transformée stricte de C_0 dans \widetilde{S}_0 . Si

$$(3.9.1) d > 16, \ G(d,5) < g \le (d-1)^2/8, \ r > 36,$$

ou bien si

$$(3.9.2) \qquad \begin{cases} d > 28, & G(d,8) < g \le (d-1)^2/8, & r > 72 \\ h^0(\mathcal{O}_{\widetilde{S}_0}(-\widetilde{C}_0)(7)) = h^1(\mathcal{O}_{\widetilde{S}_0}(-\widetilde{C}_0)(4)) = 0. \end{cases}$$

Alors toute générisation de C_0 dans $H_{d,q}$ est tracée sur une surface quartique à droite double.

Démonstration. Pour montrer la proposition, il revient au même de montrer que si $\mathfrak{C} \subset \mathbb{P}^3_A$ est une déformation plate de C_0 , avec A un anneau de valuation discrète sur k, alors la fibre générique de \mathfrak{C} au-dessus de A est une courbe tracée sur une quartique à droite double (i.e., le morphisme classifiant $f: \operatorname{Spec} A \to H_{d,g}$ se factorise via l'immersion $\mathcal{V} \hookrightarrow H_{d,g}$).

Montrons d'abord que l'on peut se ramener au cas où A est complet, i.e, A est isomorphe à un anneau de séries formelles $k[[t_1,\cdots,t_n]]$. Supposons qu'il existe un morphisme g: Spec $\hat{A}\to\mathcal{V}$, où \hat{A} est le complété de A, faisant commuter le diagramme

$$\begin{array}{cccc}
\operatorname{Spec} \hat{A} & \xrightarrow{g} & \mathcal{V} \\
\downarrow j & & \downarrow \\
\operatorname{Spec} A & \xrightarrow{f} & H_{d,g}
\end{array}$$

Localement \mathcal{V} est le lieu des zéros d'un idéal $(F_1, \dots F_m)$, et la commutativité du digramme cidessus équivaut à dire que les $j^*f^*(F_n) \in \hat{A}$ sont nuls, et donc, comme j^* est une injection, que les $f^*(F_n)$ sont nuls dans A; autrement dit le morphisme f se factorise via \mathcal{V} . Avec le même argument on peut montrer que l'on peut se ramener au cas A = k[[t]].

Soit alors $\mathfrak{C} \subset \mathbb{P}^3_A$ une déformation plate de C_0 , avec A = k[[t]]. On applique la proposition (2.9) (resp. (2.11)) si C_0 vérifie les hypothèses (3.9.1) (resp. (3.9.2)), en prenant s = 4 (resp. s = 4 et $\sigma = 7$). On en déduit l'existence d'une déformation plate $\mathfrak{S} \subset \mathbb{P}^3_A$ de S_0 contenant \mathfrak{C} et dont la fibre générique est une surface singulière à courbe double, qui est générisation plate de L_0 , donc par platitude, c'est une droite double. \square

Corollaire 3.10. Avec les notations de la proposition ci-dessus on a:1) C_0 est un point intérieur de l'image de W dans $H_{d,g}$. 2) Toute composante irréductible de $H_{d,g}$ contenant C_0 est dominée par une composante irréductible de W.

Démonstration. Il suffit d'appliquer des résultats plus généraux, par exemple ([DG], 1.10.2 et 1.10.3), au morphisme $W_{d,g} \to H_{d,g}$. \square

Comme conéquence de tout ce qui précède on a le

Théorème 3.11. Soit S_0 une surface quartique à droite double L_0 comme dans (3.2.3). Soient C_0 , \widetilde{C}_0 comme dans la proposition (3.9). On suppose que C_0 vérifie les hypothèses (3.9.1) ou (3.9.2). Si de plus $h^1(\mathcal{N}_{\widetilde{C}_0/\widetilde{S}_0}) = h^0(\mathcal{O}_{\widetilde{S}_0}(4H - \widetilde{L}_0 - \widetilde{C}_0)) = 0$, alors toute composante irréductible de $H_{d,g}$ contenant C_0 est non réduite.

Démonstration. Si C_0 vérifie (3.9.1) ou (3.9.2), alors d'après (3.10), toute composante irréductible de $H_{d,g}$ contenant C_0 est dominée par une composante irréductible de $\mathcal{W}_{d,g}$, c'est donc une composante non réduite d'après (3.3). \square

Preuve du théorème (3.1)

Nous arrivons maintenant à la preuve du théorème (3.1). Elle consiste à montrer que pour tout couple d'entiers (d,g) satisfaisant aux hypothèses dudit théorème, on peut construire une courbe lisse et connexe de degré d et genre g tracée sur la surface S_0 satisfaisant aux conditions (3.9.2) de la propopsition (3.9). Ceci sera facilité par le fait qu'il y a des moyens numériques pour classifier les courbes de \widetilde{S}_0 , et donc de transformer les conditions (3.9.2) en termes purement arithmétiques. L'essentiel de la preuve sera de rendre effectives ces conditions numériques. Pour ce faire, on commencera d'abord par prouver la

Proposition 3.12. Soient S_0 , \widetilde{S}_0 , Δ , E_1, \dots, E_9 , L_0 , \widetilde{L}_0 , H comme dans (3.2.3). Soit $D = \delta \Delta - \sum_{i=1}^{9} m_i E_i$ un diviseur de \widetilde{S}_0 tel que

- (1) $\delta \geq m_1 + m_2 + m_3$
- (2) $m_1 > m_2 \ge m_3 \ge \ldots \ge m_9 \ge 1$
- (3) $r := 3\delta \sum_{i=1}^{9} m_i \ge 3$

Alors D est effectif et le système linéaire |D| contient une courbe lisse et connexe \widetilde{C} telle que

- (a) $H^1(\mathcal{N}_{\widetilde{C}/\widetilde{S}_0}) = 0$ et $\widetilde{L}_0 \cap \widetilde{C}$ ne contient pas les points de ramification ni aucune paire de points en involution; le cardinal de $\widetilde{C} \cap \widetilde{L}_0$ est égal à r.
- (b) Si $\delta > 13$ alors $H^0(\mathcal{O}_{\widetilde{S}_0}(4H \widetilde{L}_0 \widetilde{C})) = 0$.
- (c) Si $\delta > 28$ alors $H^0(\mathcal{O}_{\widetilde{S}_0}(7H \widetilde{C})) = 0$.
- (d) Si $m_9 \ge 4$, $m_1 \ge m_2 + 4$, $r \ge 9$ et $\delta > m_1 + 10$, alors $H^1(\mathcal{O}_{\widetilde{S}_0}(4H \widetilde{C})) = 0$.

Soit C l'image par φ de \widetilde{C} , alors est une courbe lisse et connexe, isomorphe à \widetilde{C} , coupant la droite L_0 , transversalement, en r points distincts des points de ramification. Le degré d de C est donné par $d=4\delta-2m_1-\sum_{i=2}^9 m_i$ et son genre g par $g=[(\delta-1)(\delta-2)-\sum_{i=1}^9 m_i(m_i-1)]/2$

Démonstration. En appliquant ([bH], 3.1 et 3.4), les conditions conditions (1) à (3) impliquent que |D| est sans points bases, donc (compte tenu du théorème de Bertini) un élement général \widetilde{C} de |D| est une courbe lisse qui évite les points de ramification et, en raison de la condition (3) (qui équivaut à $\widetilde{C}.\widetilde{L}_0 \geq 3$), on peut voir qu'elle évite aussi les points en involution. En vertu de ([bH], 1.1), $H^1(\mathcal{O}_{\widetilde{S}_0}(-\widetilde{C})) = 0$, donc, en fait, \widetilde{C} est connexe. Le nombre de points de $\widetilde{C} \cap \widetilde{L}_0$ est égal à $\widetilde{C}.\widetilde{L}_0 = 3\delta - \sum_{i=1}^9 m_i = r$.

Soit g le genre de \widetilde{C} ; la formule d'adjonction appliquée à \widetilde{C} et la condition (3) permettent de voir que deg $\mathcal{N}_{\widetilde{C}/\widetilde{S}_0} = \widetilde{C}^2 > 2g - 2$ et donc $H^1(\mathcal{N}_{\widetilde{C}/\widetilde{S}_0}) = 0$.

Pour voir (a), on observe que $\delta > 13$ implique $\Delta.\widetilde{C} < 0$, donc, d'après ([D], p.24), $H^0(\mathcal{O}_{\widetilde{S}_0}(4H - \widetilde{L}_0 - \widetilde{C})) = 0$. Le même argument permet de voir que $H^0(\mathcal{O}_{\widetilde{S}}(4H - \widetilde{L} - \widetilde{C})) = 0$ si $\delta > 28$, d'où l'assertion (c).

Reste à montrer (d). Pour cela on rappelle le résultat suivant dû à M. Skiti, (cf. [S]) :

Lemme. Soit \mathcal{L} un fibré en droites sur \widetilde{S}_0 correspondant, dans la base $(\Delta, -E_1, \ldots, -E_9)$, au multi-entier (a, b_1, \ldots, b_9) avec $a > b_1 \geq b_2 \geq \cdots \geq b_9$, $a \geq b_1 + b_2 + b_3$ et $\mathcal{L}.\widetilde{L}_0 > 0$. Si $b_9 \geq -1$ alors $H^1(\mathcal{L}) = 0$.

Posons $\mathcal{L} = \mathcal{O}_{\widetilde{S}_0}(-\widetilde{L}_0 - 4H + \widetilde{C})$. Le multi-entier entier associé à \mathcal{L} est égal à $(\delta - 19, m_1 - 9, m_2 - 5, \ldots, m_9 - 5)$. Ainsi sous les hypothèses de (d), $(\delta - 19, m_1 - 9, m_2 - 5, \ldots, m_9 - 5)$ vérifie celles du

lemme ci-dessus, donc $H^1(\mathcal{O}_{\widetilde{S}_0}(\mathcal{L})) = 0$, et par la dualité de Serre $h^1(\mathcal{O}_{\widetilde{S}_0}(\mathcal{L})) = h^1(\mathcal{O}_{\widetilde{S}_0}(4H - \widetilde{C}))$, d'où l'assertion (d).

La dernière partie est assez claire : le calcul de d et g est classique, et le cardinal de $C \cap L_0$ étant égal à $\widetilde{C}.\widetilde{L}_0$ vaut r; les autres affirmations découlent de ([H3], 3.1). \square

Preuve du théorème (3.1) 3.13.

Soient d et g deux entiers satisfaisant aux hypothèses (A) et (B), alors d'après le corollaire (3.16) ci-dessous, il existe un existe un décuple d'entiers $(\delta, m_1, \dots, m_9)$ vérifiant les inégalités :

- (i) $m_1 \ge m_2 \ge \cdots \ge m_9 \ge 4$
- (ii) $\delta \ge m_1 + m_2 + m_3$
- (iii) $m_1 \ge m_2 + 4$
- (iv) $3\delta \sum_{i=1}^{9} m_i \ge 73$

tel que d et g soient donnés par les formules

$$d = 4\delta - 2m_1 - \sum_{i=2}^{9} m_i, g = [(\delta - 1)(\delta - 2) - \sum_{i=1}^{9} m_i(m_i - 1)]/2.$$

On considère le diviseur $D = \delta \Delta - \sum_{i=1}^{9} m_i E_i$, alors D vérifie, en particulier, les hypothèses (1), (2), (3), (b), (c) et (d) de la proposition (3.12). Ainsi il existe une courbe lisse et connexe \widetilde{C}_0 dans le système linéaire |D| de genre g satisfaisant aux hypothèses du théorème (3.11). Et ceci termine la démonstration du théorème.

Appendice arithmétique

Nous établissons dans ce qui suit les arguments arithmétiques utilisés dans la preuve du théorème (3.1). Les méthodes de démonstration sont largement inspirées de celles utilisées par Gruson et Peskine dans ([GP2]) et reprises par Hartshorne dans ([H3]).

Lemme 3.14. Soit d un entier ≥ 95 . Pour tout entier $g \in G(d,8)$, $(d-1)^2/8$ il existe un entier $v \in [d/8+9,(d+1)/2]$, et des demi-entiers, (i.e. des éléments de $\frac{1}{2}\mathbb{Z}$), α_2,\ldots,α_9 vérifiant :

(1)
$$F_d(v-1) < g \le F_d(v)$$
, avec $F_d: x \mapsto \frac{1}{2}(x-1)(d-x)$

- (2) $|\alpha_2| \le \alpha_3 \le \dots \le \alpha_9 \le \frac{v}{2} 4$
- $(3) \quad -\alpha_2 + \alpha_3 + \dots + \alpha_9 \le d v 8$
- (4) $2\alpha_i \equiv v \pmod{2}$
- (5) $d \sum_{i=2}^{9} \alpha_i \equiv 0 \pmod{2}$

 $tels\ que$

(6)
$$g = F_d(v) + 1 - \frac{1}{2} \sum_{i=2}^{9} \alpha_i^2$$
.

Remarque 3.15. Il est facile de voir que les congruences (4) et (5) impliquent que le nombre $F_d(v) - \frac{1}{2} \sum_{i=2}^{9} \alpha_i^2$ est bien un entier. Par ailleurs la fonction F_d atteint son maximum pour x = (d+1)/2, et vaut dans ce cas $(d-1)^2/8$, donc la formule (5) n'a de sens que si l'on impose $g \le (d-1)^2/8$, ce qui est le cas ici.

Preuve du lemme. Soit d un entier ≥ 95 . Soit g un entier dans] $G(d,8), (d-1)^2/8]$. Il est facile de voir que $F_d(d/8+9) \leq G(d,8)$, et puisque la fonction F_d est bijective sur l'intervalle [d(d/8+9), (d+1)/2], alors ce dernier contient un réel β tel que $F_d(\beta) = g$. Si $\beta \in \mathbb{N}$, on pose

 $v = \beta$. Si $\beta \notin \mathbb{N}$, on a $[\beta] + 1 \le (d+1)/2$, ([x] symbolise la partie entière de x); on pose $v = [\beta] + 1$. Il est clair que v vérifie la double inégalité (1), compte tenu de la stricte croissance de F_d dans [d(d/8 + 9), (d+1)/2].

Posons $n = 2(F_d(v) + 1 - g)$. Alors n est un entier, et, en notant que $2(F_d(v) - F_d(v-1)) = d - 2v + 2$, on a $2 \le n < d - 2v + 4$ et donc $2 \le n < 6v - 68$. On va montrer qu'un tel n s'écrit $n = \sum_{i=2}^{9} \alpha_i^2$, où les α_i sont dans $(1/2)\mathbb{Z}$ vérifiant les conditions (2) à (5) du lemme. Pour ce faire, on va distinguer deux cas, selon la parité de v.

Supposons v pair. Il s'agit de trouver 8 entiers α_i avec $|\alpha_i| \le v/2 - 4$ tels que $n = \sum_{i=2}^9 \alpha_i^2$. Posons q = v/2 - 4, alors $n < 3q^2 - 2q + 3$. Ceci implique, d'après ([H3], 2.1), que n est somme de 5 carrés d'entiers, $\alpha_5, \dots, \alpha_9$ avec $|\alpha_i| \le N$, et donc, a fortiori, somme de 8 carrés d'entiers en posant $\alpha_2 = \alpha_3 = \alpha_4 = 0$.

Il reste à verifier la congruence (5) et l'inégalité (3). (L'inégalité (2) étant évidemment satisfaite, quitte à réarranger les α_i .). Puisque g est un entier, on a $(d-v)(v-1) \equiv \sum_{i=2}^9 \alpha_i^2 \pmod{2}$, ou encore $d \equiv \sum_{i=2}^9 \alpha_i^2 \pmod{2}$, d'où la congruence (5). L'inégalité (3) est évidente car $v \geq 12$ et $\sum_{i=2}^9 \alpha_i^2 = n \leq d-2v+4$.

Si maintenant v est impair, on a $F_d(v) \in \mathbb{Z}$. Alors m=4n-3 satisfait les hypothèses de ([H3], 2.2),i.e., $m \equiv 5 \pmod{8}$ et $m < 3p^2 + 2p + 1$ avec p = v - 8. D'où l'existence de 5 entiers impairs β_i avec $|\beta_i| \le v - 8$ tels que $m = \sum_{i=5}^9 \beta_i^2$. On pose $|\alpha_2| = \alpha_3 = \alpha_4 = 1/2$ et $\alpha_i = |\beta_i/2|$ pour $i \ge 5$. Le choix du signe de α_2 se fait ainsi : on écrit $\sum_{i=5}^9 \beta_i = 2M + 1$, ensuite on prend $\alpha_2 = 1/2$ (resp. -1/2) si $M \equiv d \pmod{2}$ (resp. $M \equiv d - 1 \pmod{2}$), et ceci permet d'obtenir la congruence (5). Il reste à vérifier l'inégalité (3) ; pour cela il suffit de vérifier $\sum_{i=5}^9 \beta_i \le 2d - 2v - 19$. Puisque $m = \sum_{i=5}^9 \beta_i^2$ et m + 5 < 4d - 8v + 18 < 2(2d - 2v - 19) (car $v \ge 14$), il suffit de vérifier $\sum_{i=5}^9 \beta_i \le (\sum_{i=5}^9 \beta_i^2) + 5/2$, mais ceci n'est autre que la lapalissade $\sum_{i=5}^9 (\beta_i - 1)^2 \ge 0$. Ceci démontre le lemme. \square

Si dans l'énoncé du lemme ci-dessus on remplace $v \leq (d+1)/2$ par $v \leq d-73$, (comme nous serons amené à le faire en vue de montrer (3.16)), alors celui-ci reste valable pour $d \geq 147$ puisque, dans ce cas, $(d+1)/2 \leq d-73$, et pour qu'il le reste lorsque $95 \leq d \leq 146$, (auquel cas d-73 < (d+1)/2), il faut évidemment remplacer dans la preuve précédente l'hypothèse $g \leq (d-1)^2/8$ par $g \leq F_d(d-3) = 73(d-74)/2$. Ceci explique la présence des régions (A) et (B) dans le prochain corollaire. L'intéret de la condition $d \geq 95$ s'explique par le fait que si l'on cherche un entier naturel $v \leq d-73$, il faut a priori avoir $d \geq 73$, (donc on connaît G(d,8)), et on montre moyennant un calcul élémentaire que $F_d(d-73) < G(d,8)$ pour $d \leq 94$. Ainsi, puisque dans ce cas la fonction $F_d(x)$ est strictement croissante pour $x \leq d-73$, l'égalité (6) n'est jamais réalisable avec $d \leq 94$ et g > G(d,8).

Corollaire 3.16. Soient d et g deux entiers satisfaisant :

(A)
$$G(d,8) < g \le \frac{73}{2}(d-74)$$
 si $146 \ge d \ge 95$

(B)
$$G(d,8) < g \le \frac{(d-1)^2}{8}$$
 si $d \ge 147$

Alors il existe un décuple d'entiers $(\delta, m_1, \dots, m_9)$ vérifiant les inégalités :

- (i) $m_1 \ge m_2 \ge \cdots \ge m_9 \ge 4$
- (ii) $\delta > m_1 + m_2 + m_3$
- (iii) $m_1 \ge m_2 + 4$
- (iv) $3\delta \sum_{i=1}^{9} m_i \ge 73$

tel que d et g soient donnés par les formules

(v)
$$d = 4\delta - 2m_1 - \sum_{i=2}^{9} m_i$$

(vi)
$$2g = (\delta - 1)(\delta - 2) - \sum_{i=1}^{9} m_i(m_i - 1).$$

Démonstration. Soient d et g deux entiers satisfaisant aux hypothèses (A) ou (B) du corollaire. On sait, d'après le lemme (3.15) et le commentaire qui le suit, qu'il existe un entier $v \in [d/8+9, d-73]$, et des demi-entiers $\alpha_2, \dots, \alpha_9$ vérifiant les conditions (i) à (vi) du lemme. On pose

$$\delta = \frac{1}{2}(d + 2v - \sum_{i=2}^{9} \alpha_i)$$
, $m_1 = \delta - v$, $m_i = \frac{v}{2} - \alpha_i$ pour $i \ge 2$.

Alors les congruences (4) et (5) du lemme impliquent respectivement $\delta \in \mathbb{Z}$ et $m_i \in \mathbb{Z}$ pour $i \geq 2$, et une vérification simple permet de voir que le multi-entier $(\delta, m_1, \dots, m_9)$ ainsi défini satisfait aux conditions (1) à (6), ce qui démontre le corollaire. \square

Bibliographie

[Ar] M. Artin, Deformations of singularities, Tata Institute Lectures, 54, 1976.

[Az] S. Azziz, Exemples de composantes irréductibles non réduites du schéma de Hilbert des courbes lisses et connexes de \mathbb{P}^3 , Thèse, université de Toulouse-III, 1996.

[D] M. Demazure, Surfaces de Del Pezzo, Lect. Notes in Math. 777 (1980), 23-69.

[**DG**] J. Dieudonné, A. Grothendieck, *Etude locale des schémas et des morphismes de schémas*, EGA IV, Publ. I.H.E.S, 20 (1964) .

[DP] A. Dolcetti, G. Pareschi, On linearly normal space curves, Math.Zeit. 198 (1988), 73-82.

[E] Ph. Ellia, D'autres composantes non réduites de Hilb \mathbb{P}^3 , Math. Ann. 277 (1987), 433-446.

[EF] Ph. Ellia, M. Fiorentini, Défaut de postulation et singularités du schéma de Hilbert, Ann. Uni. Ferrara Nuova, Ser.Sez.VII, 30 (1984), 185-198.

[GP1] L. Gruson, Ch. Peskine, Genre des courbes algébriques dans l'espace projectif, Lect. Notes in Math. 687 (1978), 31-59.

[GP2] L. Gruson, Ch. Peskine, Genre des courbes algébriques dans l'espace projectif (II), Ann. Scient. Éc. Norm. Sup. 15 (1982), 410-418.

[H1] R. Hartshorne, Une courbe irréductible non lissifiable dans \mathbb{P}^3 , C.R. Acad. Sci. Paris, t. 299, série I, 5 (1984), 133-136.

[H2] R. Hartshorne, Algebraic Geometry, Gradu. Texts in Math., Springer-Verlag, 52 (1977).

[H3] R. Hartshorne, Genre des courbes algébriques dans l'espace projectif, Sém. Bourbaki, 592 (1981/82), 1-13.

[H4] R. Hartshorne, Stable Reflexive Sheaves, Math. Ann. 254 (1980), 121-176.

[bH] B. Harbourne, Complete Linear Systems On Rational Surfaces, Trans. A.M.S, 289, 1 (1985), 213-226.

[K1] J. Kleppe, Non reduced components of the Hilbert scheme of smooth space curves, Lect. Notes in Math.1266 (1987) 181-207.

[K2] J. Kleppe, The Hilbert-Flag scheme..., Thèse, université d'Oslo (1982).

[Ka1] N.M. Katz, *Pinceaux de Lefschetz : théorème d'existence*, Lect. Notes in Math. 340, (1973), exposé 17, 212-253.

[Ka2] N.M. Katz, Etude cohomologique des pinceaux de Lefschetz, Lect. Notes in Math. 340, (1973), exposé 18, 254-327.

[L] O.A. Laudal, Formal moduli of algebraic structures, Lect. Notes in Math. 754 (1979).

- [M1] D. Mumford, Further pathologies in algebraic geometry, Amer. J. Math. 84 (1962), 642-648.
- [M2] D. Mumford, Red book of varieties and schemes, Lect. Notes in Math. 1358 (1988).
- [R] D.S. Rim, Formal deformation theory, Lect. Notes in Math. 288 (1972), exposé 6, 32-132.
- [Ro] J. Roberts, Singularity subschemes and generic projections., Trans. A.M.S, 212 (1975) 229-268.
- [S] M. Skiti, Courbes tracées sur les surfaces quartiques à droite double. , Thèse, université Lille I, 1986.
- [T1] B. Teissier, Variétés polaires I, Invent. Math. 40 (1970), 267-292.
- [T2] B. Teissier, Résolution simultanée : I- familles de courbes, Sém. sur les singularités des surfaces, Ecole Polyth., Paris (Décembre 1976).
- [W] Ch. Walter, Curves on surfaces with multiple line, J. reine angew. Math. 412 (1990), 48-62.

Toulouse, Janvier 1997.

Saïd AZZIZ Laboratoire Émile Picard Université Paul Sabatier, 118, Route de Narbonne. 31062 Toulouse. France.

e-mail: azziz@picard.ups-tlse.fr